

МИНИСТЕРСТВО НАУКИ И ВЫСШЕГО ОБРАЗОВАНИЯ  
РОССИЙСКОЙ ФЕДЕРАЦИИ

ФЕДЕРАЛЬНОЕ ГОСУДАРСТВЕННОЕ БЮДЖЕТНОЕ ОБРАЗОВАТЕЛЬНОЕ  
УЧРЕЖДЕНИЕ ВЫСШЕГО ОБРАЗОВАНИЯ  
«ЛУГАНСКИЙ ГОСУДАРСТВЕННЫЙ УНИВЕРСИТЕТ  
ИМЕНИ ВЛАДИМИРА ДАЛЯ»

СТАХАНОВСКИЙ ИНЖЕНЕРНО-ПЕДАГОГИЧЕСКИЙ ИНСТИТУТ  
(ФИЛИАЛ)

ФЕДЕРАЛЬНОГО ГОСУДАРСТВЕННОГО БЮДЖЕТНОГО  
ОБРАЗОВАТЕЛЬНОГО УЧРЕЖДЕНИЯ ВЫСШЕГО ОБРАЗОВАНИЯ  
«ЛУГАНСКИЙ ГОСУДАРСТВЕННЫЙ УНИВЕРСИТЕТ ИМЕНИ  
ВЛАДИМИРА ДАЛЯ»

КАФЕДРА ОБЩЕИНЖЕНЕРНЫХ ДИСЦИПЛИН

### **МЕТОДИЧЕСКИЕ УКАЗАНИЯ**

**к практическим занятиям по дисциплине  
«ФИЗИКА»**

**для студентов направления подготовки  
Профессиональное обучение (по отраслям),**

профили «Экономика и управление», «Информационные технологии и системы», «Электроснабжение», «Безопасность технологических процессов и производств», «Горное дело. Подземная разработка пластовых месторождений», «Горное дело. Электромеханическое оборудование, автоматизация процессов добычи полезных ископаемых и руд», «Горное дело. Технологическая безопасность и горноспасательное дело», «Профессиональная психология», «Управление персоналом» (в 9-и частях). Часть 8.2. Элементы квантовой механики

Луганск 2023

*Рекомендовано к изданию Учебно-методическим советом*

ГОУ ВО «ЛГУ им. В. Даля»

(протокол № \_\_\_ от \_\_\_\_\_ 20 г.)

Методические указания к практическим занятиям по дисциплине «**Физика**» для студентов направления подготовки **Профессиональное обучение (по отраслям)**, профили: «Экономика и управление», «Информационные технологии и системы», «Электроснабжение», «Безопасность технологических процессов и производств», «Горное дело. Подземная разработка пластовых месторождений», «Горное дело. Электромеханическое оборудование, автоматизация процессов добычи полезных ископаемых и руд», «Горное дело. Технологическая безопасность и горноспасательное дело», «Профессиональная психология», «Управление персоналом» (в 9-и частях). **Часть 8.2. Элементы квантовой механики.** /Сост.: В.И. Сафонов. – **Стаханов: ФГБОУ ВО «ЛГУ им. В. Даля», 2023.** – 50 с.

В методических указаниях приведен минимальный объём теоретических сведений, необходимых для подготовки к практическим занятиям по разделу «Элементы квантовой механики» общего курса физики, примеры решения задач и задачи для самостоятельного решения.

Предназначены для студентов профиля «Экономика и управление», «Информационные технологии и системы», «Электроснабжение», «Безопасность технологических процессов и производств», «Горное дело. Подземная разработка пластовых месторождений», «Горное дело. Электромеханическое оборудование, автоматизация процессов добычи полезных ископаемых и руд», «Горное дело. Технологическая безопасность и горноспасательное дело», «Профессиональная психология», «Управление персоналом».

Составитель: доц. Сафонов В.И.

Ответственный за выпуск: доц. Сафонов В.И.

Рецензент: доц. Петров А.Г.

## Содержание

Раздел 8.2. ЭЛЕМЕНТЫ КВАНТОВОЙ МЕХАНИКИ .....	4
8.2.1. Волновые свойства микрочастиц.....	4
8.2.1.1. Примеры решения задач.....	5
8.2.1.2. Вопросы и задачи для самостоятельного решения.....	11
8.2.2. Простейшие случаи движения микрочастиц.....	14
8.2.2.1. Примеры решения задач.....	16
8.2.2.2. Вопросы и задачи для самостоятельного решения.....	20
8.2.3. Строение атома.....	29
8.2.3.1. Примеры решения задач.....	33
8.2.3.2. Вопросы и задачи для самостоятельного решения.....	35
8.2.4. Спектры молекул.....	45
8.2.4.1. Примеры решения задач.....	46
8.2.4.2. Задачи для самостоятельного решения.....	49
Рекомендованная литература .....	50

## Раздел 8.2.

### ЭЛЕМЕНТЫ КВАНТОВОЙ МЕХАНИКИ

Цель: Освоить изученный теоретический материал на примерах и закрепить его, решив самостоятельно задачи.

#### 8.2.1. Волновые свойства микрочастиц

##### Основные формулы

• Формула де Бройля, выражающая связь длины волн с импульсом  $p$  движущейся частицы, для двух случаев:

а) в классическом приближении ( $v \ll c$ ;  $p = m_0v$ )

$$\lambda = \frac{2\pi\hbar}{p};$$

б) в релятивистском случае (скорость  $u$  частицы сравнима со скоростью  $c$  света в вакууме)

$$p = mv^2 = \frac{m_0v}{\sqrt{1 - \frac{v^2}{c^2}}};$$

$$\lambda = \frac{2\pi\hbar}{m_0v} \sqrt{1 - \frac{v^2}{c^2}}.$$

• Связь длины волны де Бройля с кинетической энергией  $T$  частицы:

а) в классическом приближении  $\lambda = \frac{2\pi\hbar}{\sqrt{2m_0T}}$ ;

б) в релятивистском случае  $\lambda = \frac{2\pi\hbar c}{\sqrt{R(T + 2E_0)}}$ , где  $E_0$  – энергия

покоя частицы ( $E_0 = m_0c^2$ ).

• Фазовая скорость волн де Бройля

$$v = \frac{\omega}{k},$$

где  $\omega$  – круговая частота;

$k$  – волновое число,  $k = \frac{2\pi}{\lambda}$ .

• Групповая скорость волн де Бройля

$$u = \frac{d\omega}{dk}.$$

• Соотношения де Бройля:

$$E = \hbar\omega, p = \hbar k,$$

где  $E$  – энергия движущейся частицы;

$p$  – импульс частицы;

$k$  – волновой вектор,

$$|k| = k = \frac{2\pi}{\lambda};$$

$\hbar$  – постоянная Планка,  $\hbar = \frac{h}{2\pi} = 1,05 \cdot 10^{-34}$  Дж·с.

• Соотношения неопределенностей:

а) для координаты и импульса частицы

$$\Delta p \Delta x \geq \hbar,$$

где  $\Delta p_x$  – неопределенность проекции импульса частицы на ось  $x$ ;

$\Delta x$  – неопределенность ее координаты;

б) для энергии и времени

$$\Delta E \Delta t \geq \hbar,$$

где  $\Delta E$  – неопределенность энергии данного квантового состояния;

$\Delta t$  – время пребывания системы в этом состоянии.

### 8.2.1.1. Примеры решения задач

**Пример 1.** Электрон, начальной скоростью которого можно пренебречь, прошел ускоряющую разность потенциалов  $U$ . Найти длину волны де Бройля  $\lambda$  для двух случаев: 1)  $U_1 = 51$  кВ; 2)  $U_2 = 510$  кВ.

**Решение.** Длина волны де Бройля  $\lambda$  частицы зависит от ее импульса  $p$  и определяется формулой

$$\lambda = \frac{2\pi\hbar}{p}. \quad (1)$$

Импульс частицы можно определить, если известна ее кинетическая энергия  $T$ . Связь импульса с кинетической энергией для нерелятивистского (когда  $T \ll E_0$ ) и для релятивистского (когда  $T \approx E_0$ ) случаев соответственно выражается формулами:

$$p = \sqrt{2m_0T}; \quad (2)$$

$$p = \frac{1}{c} \sqrt{(2E_0 T)T}. \quad (3)$$

Формула (1) с учетом соотношений (2) и (3) запишется соответственно в нерелятивистском и релятивистском случаях:

$$\lambda = \frac{2\pi\hbar}{\sqrt{2m_0 T}}; \quad (4)$$

$$\lambda = \frac{2\pi\hbar}{\frac{1}{c} \sqrt{(2E_0 + T)T}}. \quad (5)$$

Сравним кинетические энергии электрона, прошедшего заданные в условии задачи разности потенциалов  $U_1 = 51$  кВ и  $U_2 = 510$  кВ, с энергией покоя электрона и в зависимости от этого решим вопрос, которую из формул (4) и (5) следует применить для вычисления длины волны де Бройля.

Как известно, кинетическая энергия электрона, прошедшего ускоряющую разность потенциалов  $U$ ,

$$T = |e|U.$$

В первом случае  $T_1 = |e|(U_1 = 51 \text{ эВ} = 0,51 \cdot 10^{-4} \text{ МэВ})$ , что много меньше энергии покоя электрона  $E_0 = m_0 c^2 = 0,51 \text{ МэВ}$ . Следовательно, можно применить формулу (4).

Для упрощения расчетов заметим, что  $T_1 = 10^{-4} m_0 c^2$ . Подставив это выражение в формулу (4), перепишем ее в виде

$$\lambda_1 = \frac{2\pi\hbar}{\sqrt{2m_0 \cdot 10^{-4} m_0 c^2}} = \frac{10^2}{\sqrt{2}} \frac{2\pi\hbar}{m_0 c}.$$

Учтя, что  $\frac{2\pi\hbar}{m_0 c}$  есть комптоновская длина волны  $\lambda_C$ , получим

$$\lambda_1 = \frac{10^2}{\sqrt{2}} \lambda_C.$$

Так как  $\lambda_C = 2,43 \cdot 10^{-12}$  м, то

$$\lambda_1 = \frac{10^2}{\sqrt{2}} \cdot 2,43 \cdot 10^{-12} = 172 \cdot 10^{-12} \text{ м}.$$

Во втором случае кинетическая энергия  $T_2 = |e|U_2 = 510 \text{ кэВ} = 0,51 \text{ МэВ}$ , т.е. равна энергии покоя электрона. Следовательно, необходимо применить релятивистскую формулу (5).

Учтя, что  $T_2 = 0,51 \text{ МэВ} = mc^2$ , по формуле (5) найдем

$$\lambda_2 = \frac{2\pi\hbar}{\frac{1}{c}\sqrt{(2m_0c^2 + m_0c^2)m_0c^2}} = \frac{2\pi\hbar}{\sqrt{3}m_0c} \quad \text{или} \quad \lambda_0 - \frac{\lambda_C}{\sqrt{3}}.$$

Подставив значение  $\lambda_C$  в последнюю формулу и произведя вычисления, получим

$$\lambda_2 = 1,4 \text{ пм.}$$

**Пример 2.** На узкую щель шириной  $a = 1$  мкм направлен параллельный пучок электронов, имеющих скорость  $v = 3,65$  Мм/с. Учитывая волновые свойства электронов, определить расстояние  $x$  между двумя максимумами интенсивности первого порядка в дифракционной картине, полученной на экране, отстоящем на  $L = 10$  см от щели.

**Решение.** Согласно гипотезе де Бройля, длина волны  $\lambda$ , соответствующая частице массой  $m$ , движущейся со скоростью  $v$ , выражается формулой

$$\lambda = \frac{2\pi\hbar}{mv}. \quad (1)$$

Дифракционный максимум при дифракции на одной щели наблюдается при условии

$$\alpha \sin(\varphi) = (2k + 1) \frac{\lambda}{2}, \quad (2)$$

где  $k = 0, 1, 2, 3, \dots$  – порядковый номер максимумов;

$\alpha$  – ширина щели.

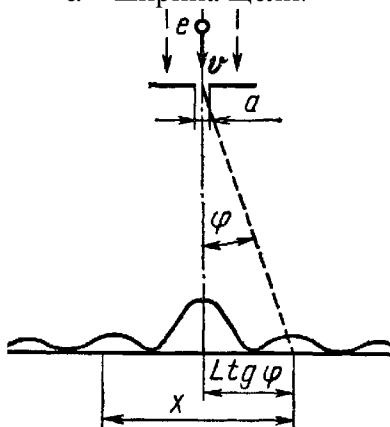


Рис. 8.4

Для максимумов первого порядка ( $k = 1$ ) угол  $\varphi$  заведомо мал, поэтому  $\sin(\varphi) = \varphi$ , и, следовательно, формула (2) примет вид

$$\alpha\varphi = \frac{3}{2}\lambda, \quad (3)$$

а искомая величина  $x$ , как следует из рис. 8.4,

$$x = 2L \operatorname{tg}(\varphi) = 2L\varphi, \quad (4)$$

так как  $\operatorname{tg} \varphi = \varphi$ .

Подставив значение  $\varphi$  из соотношения (3) в формулу (4), получим

$$x = 2L \frac{3\lambda}{2a} = 3 \frac{L\lambda}{a}.$$

Подстановка в последнее равенство длины волны де Бройля по формуле (1) дает

$$x = 6 \frac{\pi \hbar L}{amv}. \quad (5)$$

После вычисления по формуле (5) получим

$$x = 6 \cdot 10^{-5} \text{ м} = 60 \text{ мкм}.$$

**Пример 3.** На грань кристалла никеля падает параллельный пучок электронов. Кристалл поворачивают так, что угол скольжения  $\theta$  изменяется. Когда этот угол становится равным  $64^\circ$ , наблюдается максимальное отражение электронов, соответствующее дифракционному максимуму первого порядка. Принимая расстояние  $d$  между атомными плоскостями кристалла равным 200 пм, определить длину волны де Бройля  $\lambda$  электронов и их скорость  $v$ .

**Решение.** К расчету дифракции электронов от кристаллической решетки применяется то же уравнение Вульфа-Брэгга, которое используется в случае рентгеновского излучения:

$$2d \sin(\theta) = k\lambda,$$

где  $d$  – расстояние между атомными плоскостями кристалла;

$\theta$  – угол скольжения;

$k$  – порядковый номер дифракционного максимума;

$\lambda$  – длина волны де Бройля.

Очевидно, что

$$\lambda = \frac{2d \sin(\theta)}{k}.$$

Подставив в эту формулу значения величин и вычислив, получим

$$\lambda = 360 \text{ пм}.$$

Из формулы длины волны де Бройля  $\lambda = \frac{2\pi\hbar}{mv}$  выразим скорость электрона:

$$v = \frac{2\pi\hbar}{m\lambda}.$$

Подставив в эту формулу значения  $\pi$ ,  $\hbar$ ,  $m$  (масса электрона), и произведя вычисления, получим



$$v = 2 \text{ Мм/с.}$$

**Пример 4.** Кинетическая энергия  $T$  электрона в атоме водорода составляет величину порядка 10 эВ. Используя соотношение неопределенностей, оценить минимальные линейные размеры атома.

**Решение.** Неопределенность координаты и импульса электрона связаны соотношением

$$\Delta x \Delta p \geq \hbar, \quad (1)$$

где  $\Delta x$  – неопределенность координаты электрона,

$\Delta p$  – неопределенность его импульса.

Из этого соотношения следует, что чем точнее определяется положение частицы в пространстве, тем более неопределенным становится импульс, а, следовательно, и энергия частицы.

Пусть атом имеет линейные размеры  $l$ , тогда электрон атома будет находиться где-то в пределах области с неопределенностью

$\Delta x = \frac{l}{2}$ . Соотношение неопределенностей (1) можно записать в

этом случае в виде  $\frac{l}{2} \Delta p \geq \hbar$ , откуда

$$l \geq \frac{2\hbar}{\Delta p}. \quad (2)$$

Физически разумная неопределенность импульса  $\Delta p$ , во всяком случае, не должна превышать значения самого импульса  $p$ , т.е.

$$\Delta p \leq p$$

Импульс  $p$  связан с кинетической энергией  $T$  соотношением  $p = \sqrt{2mT}$ . Заменяем  $\Delta p$  значением  $\sqrt{2mT}$  (такая замена не увеличит  $l$ ). Переходя от неравенства (2) к равенству, получим

$$l_{\min} = \frac{2\hbar}{\sqrt{2mT}}.$$

Подставив числовые значения и произведя вычисления, получим

$$l_{\min} = 124 \text{ пм.}$$

**Пример 5.** Используя соотношение неопределенностей энергии и времени, определить естественную ширину  $\Delta\lambda$  спектральной линии излучения атома при переходе его из возбужденного состоя-

ния в основное. Среднее время  $\tau$  жизни атома в возбужденном состоянии принять равным  $10^{-8}$  с, а длину волны  $\lambda$  излучения – равной 600 нм.

$$\Gamma\tau \sim \hbar.$$

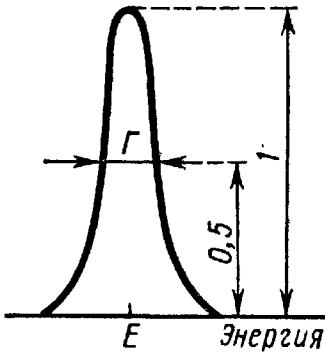


Рис. 8.5

**Решение.** При переходе атомов из возбужденного состояния в основное существует некоторый разброс (неопределенность) в энергии испускаемых фотонов. Это связано с тем, что энергия возбужденного состояния не является точно определенной, а имеет конечную ширину  $\Gamma$  (рис. 8.5). Согласно соотношению неопределенностей энергии и времени, ширина  $\Gamma$  энергетического уровня возбужденного состояния связана со средним временем  $\tau$  жизни атомов в этом состоянии соотношением

Тогда ширина энергетического уровня определяется выражением

$$\Gamma = \frac{\hbar}{\tau}.$$

Вследствие конечной ширины уровня энергии возбужденного состояния энергия фотонов, испускаемых атомами, также имеет разброс, равный ширине энергетического уровня, т.е.

$$\Delta\varepsilon = \Gamma.$$

Тогда

$$\Delta\varepsilon = \frac{\hbar}{\tau}. \quad (1)$$

Поскольку энергия  $\varepsilon$  фотона связана с длиной волны  $\lambda$  соотношением

$$\varepsilon = \frac{2\pi\hbar c}{\lambda},$$

то разбросу  $\Delta\varepsilon$  (при  $\Delta\varepsilon \ll \varepsilon$ ) энергии соответствует разброс  $\Delta\lambda$  длин волн ( $\Delta\lambda \ll \lambda$ )

$$\Delta\varepsilon = \frac{2\pi\hbar c}{\lambda^2} \Delta\lambda. \quad (\text{знак минус опущен}) \quad (2)$$

Входящий в это выражение конечный интервал длин волн  $\Delta\lambda$  и

есть естественная ширина спектральной линии. Выразив  $\Delta\lambda$  из формулы (2) и заменив  $\Delta\epsilon$  согласно (1), получим

$$\Delta\lambda = \frac{\lambda^2}{2\pi c\tau}.$$

Произведем вычисления, получим:

$$\Delta\lambda = 2 \cdot 10^{-14} \text{ м} = 20 \text{ фм}.$$

### **8.2.1.2. Вопросы и задачи для самостоятельного решения Волны де Бройля**

**45.1.** Определить длину волны де Бройля  $\lambda$  характеризующую волновые свойства электрона, если его скорость  $v = 1$  Мм/с. Сделать такой же подсчет для протона.

**45.2.** Электрон движется со скоростью  $v = 200$  Мм/с. Определить длину волны де Бройля  $\lambda$ , учитывая изменение массы электрона в зависимости от скорости.

**45.3.** Какую ускоряющую разность потенциалов  $U$  должен пройти электрон, чтобы длина волны де Бройля  $\lambda$  была равна  $0,1$  нм?

**45.4.** Определить длину волны де Бройля  $\lambda$  электрона, если его кинетическая энергия  $T = 1$  кэВ.

**45.5.** Найти длину волны де Бройля  $\lambda$  протона, прошедшего ускоряющую разность потенциалов  $U$ : 1)  $1$  кВ; 2)  $1$  МВ.

**45.6.** Найти длину волны де Бройля  $\lambda$  для электрона, движущегося по круговой орбите атома водорода, находящегося в основном состоянии.

**45.7.** Определить длину волны де Бройля  $\lambda$ , электрона, находящегося на второй орбите атома водорода.

**45.8.** С какой скоростью движется электрон, если длина волны де Бройля  $\lambda$  электрона равна его комптоновской длине волны  $\lambda_C$ .

**45.9.** Определить длину волны де Бройля  $\lambda$  электронов, бомбардирующих антикатод рентгеновской трубки, если граница сплошного рентгеновского спектра приходится на длину волны  $\lambda = 3$  нм.

**45.10.** Электрон движется по окружности радиусом  $r = 0,5$  см в однородном магнитном поле с индукцией  $B = 8$  мТл. Определить длину волны де Бройля  $\lambda$  электрона.

**45.11.** На грань некоторого кристалла под углом  $\alpha = 60^\circ$  к ее поверхности падает параллельный пучок электронов, движущихся

с одинаковой скоростью. Определить скорость  $v$  электронов, если они испытывают интерференционное отражение первого порядка. Расстояние  $d$  между атомными плоскостями кристаллов равно  $0,2$  нм.

**45.12.** Параллельный пучок электронов, движущихся с одинаковой скоростью  $v = 1$  Мм/с, падает нормально на диафрагму с длинной щелью шириной  $\alpha = 1$  мкм. Проходя через щель, электроны рассеиваются и образуют дифракционную картину на экране, расположенном на расстоянии  $l = 50$  см от щели и параллельном плоскости диафрагмы. Определить линейное расстояние  $x$  между первыми дифракционными минимумами.

**45.13.** Узкий пучок электронов, прошедших ускоряющую разность потенциалов  $U = 30$  кВ, падает нормально на тонкий листок золота, проходит через него и рассеивается. На фотопластинке, расположенной за листком на расстоянии  $l = 20$  см от него, получена дифракционная картина, состоящая из круглого центрального пятна и ряда концентрических окружностей. Радиус первой окружности  $l = 3,4$  мм. Определить: 1) угол  $\theta$  отражения электронов от микрокристаллов золота, соответствующий первой окружности (угол измеряется от поверхности кристалла); 2) длину волны де Бройля  $\lambda$  электронов; 3) постоянную  $a$  кристаллической решетки золота.

### **Фазовая и групповая скорости.**

**45.14.** Прибор зарегистрировал скорость распространения электромагнитного импульса. Какую скорость зарегистрировал прибор – фазовую или групповую?

**45.15.** Можно ли измерить фазовую скорость?

**45.16.** Волновой «пакет» образован двумя плоскими монохроматическими волнами:

$$\xi_1(x,t) = \cos(1002t - 3x);$$

$$\xi_2(x,t) = \cos(1003t - 3,01x).$$

Определить фазовые скорости  $v_1$  и  $v_2$  каждой волны и групповую скорость  $u$  волнового «пакета».

**45.17.** Известно, что фазовая скорость  $v = \omega/k$ . Найти выражения фазовой скорости волн де Бройля в нерелятивистском и релятивистском случаях.

**45.18.** Фазовая скорость волн де Бройля больше скорости света

в вакууме (в релятивистском случае). Не противоречит ли это постулатам теории относительности?

**45.19.** Зная общее выражение групповой скорости, найти групповую скорость  $u$  волн де Бройля в нерелятивистском и релятивистском случаях.

**45.20.** Написать закон дисперсии (т.е. формулу, выражающую зависимость фазовой скорости от длины волны) волн де Бройля в нерелятивистском и релятивистском случаях.

**45.21.** Будут ли расплываться в вакууме волновые пакеты, образованные из волн: 1) электромагнитных; 2) де Бройля?

### Соотношение неопределенностей

**45.22.** Определить неточность  $\Delta x$  в определении координаты электрона, движущегося в атоме водорода со скоростью  $v = 1,5 \cdot 10^6$  м/с, если допускаемая неточность  $\Delta v$  в определении скорости составляет 10 % от ее величины. Сравнить полученную неточность с диаметром  $d$  атома водорода, вычисленным по теории Бора для основного состояния, и указать, применимо ли понятие траектории в данном случае.

**45.23.** Электрон с кинетической энергией  $T = 15$  эВ находится в металлической пылинке диаметром  $d = 1$  мкм. Оценить относительную неточность  $\Delta v$ , с которой может быть определена скорость электрона.

**45.24.** Во сколько раз дебройлевская длина волны  $\lambda$  частицы меньше неопределенности  $\Delta x$  ее координаты, которая соответствует относительной неопределенности импульса в 1 %?

**45.25.** Предполагая, что неопределенность координаты движущейся частицы равна дебройлевской длине волны, определить относительную неточность  $\Delta p/p$  импульса этой частицы.

**45.26.** Используя соотношение неопределенностей  $\Delta x \Delta p_x \geq \hbar$  найти выражение, позволяющее оценить минимальную энергию  $E$  электрона, находящегося в одномерном потенциальном ящике шириной  $l$ .

**45.27.** Используя соотношение неопределенностей  $\Delta x \Delta p \geq \hbar$  оценить низший энергетический уровень электрона в атоме водорода. Принять линейные размеры атома  $l \approx 0,1$  нм.

**45.28.** Приняв, что минимальная энергия  $E$  нуклона в ядре равна 10 МэВ, оценить, исходя из соотношения неопределенностей,

линейные размеры ядра.

**45.29.** Показать, используя соотношение неопределенностей, что в ядре не могут находиться электроны. Линейные размеры ядра принять равными 5 фм.

**45.30.** Рассмотрим следующий мысленный эксперимент. Пусть моноэнергетический пучок электронов ( $T = 10$  эВ) падает на щель шириной  $a$ . Можно считать, что если электрон прошел через щель, то его координата известна с неточностью  $\Delta x = a$ . Оценить получаемую при этом относительную неточность в определении импульса  $\Delta p/p$  электрона в двух случаях: 1)  $a = 10$  нм; 2)  $a = 0,1$  нм.

## 8.2.2. Простейшие случаи движения микрочастиц

### Основные формулы

- Одномерное временное уравнение Шредингера

$$i\hbar \frac{\partial \psi}{\partial t} = -\frac{\hbar^2}{2m} \frac{\partial^2 \psi}{\partial x^2},$$

где  $i$  – мнимая единица,  $i = \sqrt{-1}$ ;

$m$  – масса частицы;

$\psi(x, t)$  – волновая функция, описывающая состояние частицы.

Волновая функция, описывающая одномерное движение свободной частицы

$$\psi(x, t) = A \exp \frac{i}{\hbar} (px - Et),$$

где  $A$  – амплитуда волны де Бройля;

$p$  – импульс частицы;

$E$  – энергия частицы.

Одномерное уравнение Шредингера для стационарных состояний

$$\frac{d^2 \psi}{dx^2} + \frac{2m}{\hbar^2} (E - U) \psi = 0,$$

где  $E$  – полная энергия частицы;

$U(x)$  – потенциальная энергия;

$\psi(x)$  – координатная (или амплитудная) часть волновой функции

Для случая трех измерений  $\psi(x, y, z)$  уравнение Шредингера

$$\frac{\partial^2 \psi}{\partial x^2} + \frac{\partial^2 \psi}{\partial y^2} + \frac{\partial^2 \psi}{\partial z^2} + \frac{2m}{\hbar^2} (E - U) \psi = 0$$

или в операторной форме

$$\Delta \psi + \frac{2m}{\hbar^2} (E - U) \psi = 0,$$

где  $\Delta = \frac{\partial^2}{\partial x^2} + \frac{\partial^2}{\partial y^2} + \frac{\partial^2}{\partial z^2}$  – оператор Лапласа.

При решении уравнения Шредингера следует иметь в виду стандартные условия, которым должна удовлетворять волновая функция: конечность (во всем пространстве), однозначность, непрерывность самой  $\psi$ -функции и ее первой производной.

• Вероятность  $dW$  обнаружить частицу в интервале от  $x$  до  $x + dx$  (в одномерном случае) выражается формулой

$$dW = [\psi(x)]^2 dx$$

где  $[\psi(x)]^2$  – плотность вероятности.

Вероятность  $W$  обнаружить частицу в интервале от  $x_1$  до  $x_2$  находится интегрированием  $dW$  в указанных пределах

$$W = \int_{x_1}^{x_2} |\psi_n(x)|^2 dx.$$

• Собственное значение энергии  $E_n$  частицы, находящейся на  $n$ -м энергетическом уровне в бесконечно глубоком одномерном прямоугольном потенциальном ящике, определяется формулой

$$E_n = \frac{\pi^2 \hbar^2}{2ml^2} n^2 \quad (\text{здесь } n = 1, 2, 3, \dots),$$

где  $l$  – ширина потенциального ящика.

Соответствующая этой энергии собственная волновая функция имеет вид

$$\psi_n(x) = \sqrt{\frac{2}{l}} \sin\left(\frac{\pi n}{l} x\right).$$

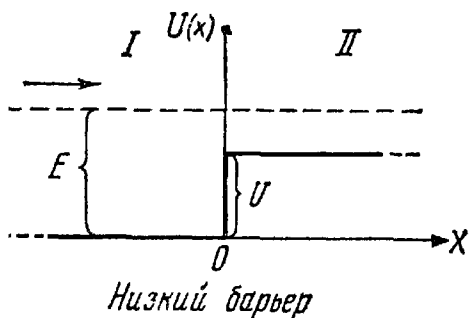


Рис. 8.6

• Коэффициент преломления  $n$  воли де Бройля на границе низкого потенциального барьера бесконечной ширины (такой барьер называют также потенциальной ступенью, если при переходе из области  $I$  в область  $II$  потенциальная энергия частицы уменьшается) (рис. 8.6)

$$n = \frac{\lambda_1}{\lambda_2} = \frac{k_2}{k_1},$$

где  $\lambda_1$  и  $\lambda_2$  – длины волн де Бройля в областях  $I$  и  $II$  (частица движется из области  $I$  в область  $II$ );  $k_1$ ,  $k_2$  – соответствующие значения волновых чисел.

• Коэффициенты отражения  $\rho$  и пропускания  $\tau$  волн де Бройля через низкий ( $U < E$ ) потенциальный барьер бесконечной ширины

$$\rho = \left| \frac{k_1 - k_2}{k_1 + k_2} \right|^2;$$

$$\tau = \frac{4k_1 k_2}{(k_1 + k_2)^2},$$

где  $k_1$  и  $k_2$  – волновые числа волн де Бройля в областях  $I$  и  $II$ .

• Коэффициент прозрачности  $D$  прямоугольного потенциального барьера конечной ширины

$$D \approx \exp \left[ -\frac{2}{\hbar} \sqrt{2m(U - E)}d \right],$$

где  $U$  – высота потенциального барьера;

$E$  – энергия частицы;

$d$  – ширина барьера.

### 8.2.2.1. Примеры решения задач

**Пример 1.** Электрон находится в бесконечно глубоком одномерном прямоугольном потенциальном ящике шириной  $l$ . Вычислить вероятность того, что электрон, находящийся в возбужденном состоянии ( $n = 2$ ), будет обнаружен в средней трети ящика.

**Решение.** Вероятность  $W$  обнаружить частицу в интервале  $x_1 < x < x_2$  определяется равенством



$$W = \int_{x_1}^{x_2} |\psi_n(x)|^2 dx, \quad (1)$$

где  $\psi(x)$  – нормированная собственная волновая функция, отвечающая данному состоянию.

Нормированная собственная волновая функция, описывающая состояние электрона в потенциальном ящике, имеет вид

$$\psi_n(x) = \sqrt{\frac{2}{l}} \sin\left(\frac{\pi n}{l} x\right).$$

Возбужденному состоянию ( $n = 2$ ) отвечает собственная функция

$$\psi_2(x) = \sqrt{\frac{2}{l}} \sin\left(\frac{2\pi}{l} x\right). \quad (2)$$

Подставив  $\psi_2(x)$  в подынтегральное выражение формулы (1) и вынося постоянные величины за знак интеграла, получим

$$W = \frac{2}{l} \int_{x_1}^{x_2} \sin^2 \frac{2\pi}{l} x dx. \quad (3)$$

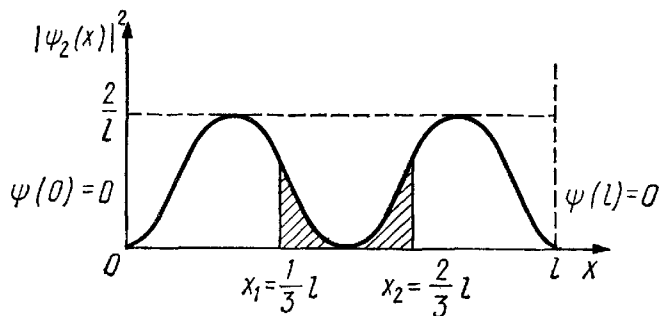


Рис. 8.7

$$\sin^2\left(\frac{2\pi}{l} x\right) = \frac{1}{2} \left(1 - \cos\left(\frac{4\pi}{l} x\right)\right)$$

и разобьем интеграл на два:

$$W = \frac{2}{l} \int_{\frac{l}{3}}^{\frac{2l}{3}} \sin^2\left(\frac{2\pi}{l} x\right) dx = \frac{1}{l} \left\{ \int_{\frac{l}{3}}^{\frac{2l}{3}} dx - \int_{\frac{l}{3}}^{\frac{2l}{3}} \cos\left(\frac{4\pi}{l} x\right) dx \right\} =$$

Согласно условию задачи,  $x_1 = 1/3l$  и  $x_2 = 2/3l$  (рис. 8.7). Подставим эти пределы интегрирования в формулу (3), произведем замену

$$= \frac{1}{l} \left\{ \frac{l}{3} - \frac{l}{4\pi} \sin \left( \frac{4\pi}{l} x \right) \Big|_{\frac{l}{3}}^{\frac{2l}{3}} \right\} = \frac{1}{3} - \frac{1}{4\pi} \left( \sin \left( \frac{8\pi}{3} \right) - \sin \left( \frac{4\pi}{3} \right) \right).$$

Заметив, что  $\sin \left( \frac{8\pi}{3} \right) = \sin \left( \frac{\pi}{3} \right)$ , а  $\sin \left( \frac{4\pi}{3} \right) = -\sin \left( \frac{\pi}{3} \right)$ , получим

$$W = 0,195$$

**Пример 2.** Моноэнергетический поток электронов ( $E = 100\text{эВ}$ ) падает на низкий прямоугольный потенциальный барьер (прямоугольный потенциальный барьер называется низким, если энергия  $E$  частицы больше высоты  $U$  потенциального барьера, в противном случае барьер называется высоким) бесконечной ширины (рис. 1). Определить высоту потенциального барьера  $U$ , если известно, что 4 % падающих на барьер электронов отражается.

**Решение.** Коэффициент отражения  $\rho$  от низкого потенциального барьера выражается формулой

$$\rho = \left| \frac{k_1 - k_2}{k_1 + k_2} \right|^2,$$

где  $k_1$  и  $k_2$  – волновые числа, отвечающие движению электронов в областях  $I$  и  $II$  (см. рис. 1).

В области  $I$  кинетическая энергия электрона равна  $E$  и волновое число

$$k_1 = \frac{1}{\hbar} \sqrt{2mE}.$$

Поскольку координата электрона не определена, то импульс электрона определяется точно и, следовательно, в данном случае можно говорить о точном значении кинетической энергии.

В области  $II$  кинетическая энергия электрона равна  $(E - U)$  и волновое число

$$k_2 = \frac{1}{\hbar} \sqrt{2m(E - U)}.$$

Коэффициент отражения может быть записан в виде

$$\rho = \left( \frac{\sqrt{2mE} - \sqrt{2m(E - U)}}{\sqrt{2mE} + \sqrt{2m(E - U)}} \right)^2.$$

Здесь в случае низкого потенциального барьера  $k_1$  и  $k_2$  действительны, а знак модуля можно опустить.

Разделим числитель и знаменатель дроби на  $\sqrt{2mE}$  :

$$\rho = \left( \frac{1 - \sqrt{1 - \frac{U}{E}}}{1 + \sqrt{1 + \frac{U}{E}}} \right)^2.$$

Решая уравнение относительно  $\sqrt{1 - \frac{U}{E}}$ , получим

$$\sqrt{1 - \frac{U}{E}} = \frac{1 - \sqrt{\rho}}{1 + \sqrt{\rho}}.$$

Возведя обе части равенства в квадрат, найдем высоту потенциального барьера:

$$U = \left[ 1 - \left( \frac{1 - \sqrt{\rho}}{1 + \sqrt{\rho}} \right) \right]^2 E.$$

Подставив сюда значения величин и произведя вычисления, получим

$$U = 55,6 \text{ эВ}.$$

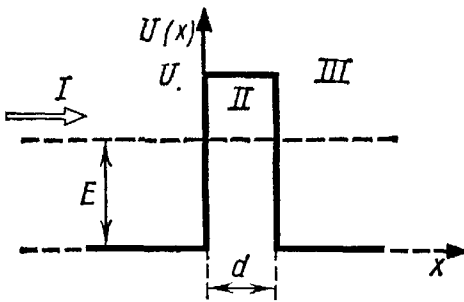


Рис. 8.8

**Пример 3.** Электрон с энергией  $E = 4,9$  эВ движется в положительном направлении оси  $x$  (рис. 8.8). Высота  $U$  потенциального барьера равна 5 эВ. При какой ширине  $d$  барьера вероятность  $W$  прохождения электрона через него будет равна 0,2?

**Решение.** Вероятность  $W$  прохождения частицы через потенциальный барьер по своему физическому смыслу совпадает с коэффициентом прозрачности  $D(W = D)$ . Тогда вероятность того, что электрон пройдет через прямоугольный потенциальный барьер, выразится соотношением

$$W \approx \exp \left[ -\frac{2}{\hbar} \sqrt{2m(U - E)d} \right], \quad (1)$$

где  $m$  – масса электрона.

Потенцируя это выражение, получим

$$\ln W = -\frac{2}{\hbar} \sqrt{2m(U-E)}d.$$

Для удобства вычислений изменим знак у правой и левой части этого равенства и найдем  $d$ :

$$d = \frac{\hbar \ln \frac{1}{W}}{2\sqrt{2m(U-E)}}.$$

Входящие в эту формулу величины выразим в единицах СИ и произведем вычисления:

$$d = 4,95 \cdot 10^{-10} \text{ м} = 0,945 \text{ нм}.$$

Учитывая, что формула (1) приближенная и вычисления носят оценочный характер, можно принять  $d \approx 0,5 \text{ нм}$ .

### 8.2.2.2. Вопросы и задачи для самостоятельного решения

#### Уравнение Шредингера

**46.1.** Написать уравнение Шредингера для электрона, находящегося в водородоподобном атоме.

**46.2.** Написать уравнение Шредингера для линейного гармонического осциллятора. Учесть, что сила, возвращающая частицу в положение равновесия,  $f = -\beta x$ , где  $\beta$  – коэффициент пропорциональности,  $x$  – смещение.

**46.3.** Временная часть уравнения Шредингера имеет вид  $i\hbar \frac{\partial \psi}{\partial t} = E\psi$ . Найти решение уравнения.

**46.4.** Написать уравнение Шредингера для свободного электрона, движущегося в положительном направлении оси  $X$  со скоростью  $v$ . Найти решение этого уравнения.

**46.5.** Почему при физической интерпретации волновой функции говорят не о самой  $\psi$ -функции, а о квадрате ее модуля  $\psi^2$ ?

**46.6.** Чем обусловлено требование конечности  $\psi$ -функции?

**46.7.** Уравнение Шредингера для стационарных состояний имеет вид  $\frac{\partial^2 \psi}{\partial x^2} + \frac{2m}{\hbar^2}(U-E)\psi = 0$ . Обосновать, исходя из этого уравнения, требования, предъявляемые к волновой функции, – её непрерывность и непрерывность первой производной от волновой

функции.

**46.8.** Может ли  $|\psi(x)|^2$  быть больше единицы?

**46.9.** Показать, что для  $\psi$ -функции выполняется равенство  $|\psi(x)|^2 = \psi(x)\psi^*(x)$ , где  $\psi^*(x)$  означает функцию, комплексно сопряженную  $\psi(x)$ .

**46.10.** Доказать, что если  $\psi$ -функция циклически зависит от времени, т.е.  $\Psi(x, t) = \exp\left(-\frac{i}{\hbar}Et\right)\psi(x)$ , то плотность вероятности есть функция только координаты.

### Одномерный бесконечно глубокий потенциальный ящик

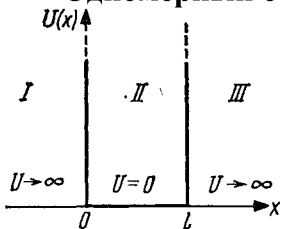


Рис. 8.9

**46.11.** Электрон находится в бесконечно глубоком прямоугольном одномерном потенциальном ящике шириной  $l$  (рис. 8.9). Написать уравнение Шредингера и его решение (в тригонометрической форме) для области II ( $0 < x < l$ ).

**46.12.** Известна волновая функция, описывающая состояние электрона в потенциальном ящике шириной  $l$ :  $\psi(x) = C_1 \sin(kx) + C_2 \cos(kx)$ . Используя граничные условия  $\psi(0) = 0$  и  $\psi(l) = 0$  определить коэффициент  $C_2$  и возможные значения волнового вектора  $k$ , при котором существуют нетривиальные решения.

**46.13.** Электрону в потенциальном ящике шириной  $l$  отвечает волновое число  $k = \frac{\pi n}{l}$  (здесь  $n = 1, 2, 3, \dots$ ). Используя связь энергии  $E$  электрона с волновым числом  $k$ , получить выражение для собственных значений энергии  $E_n$ .

**46.14.** Частица находится в потенциальном ящике. Найти отношение разности соседних энергетических уровней  $\Delta E_{n+1, n}$  к энергии  $E_n$  частицы в трех случаях: 1)  $n = 3$ ; 2)  $n = 10$ ; 3)  $n \rightarrow \infty$ . Пояснить полученные результаты.

**46.15.** Электрон находится в потенциальном ящике шириной  $l = 0,5$  нм. Определить наименьшую разность  $\Delta E$  энергетических уровней электрона. Ответ выразить в электрон-вольтах.

**46.16.** Собственная функция, описывающая состояние частицы

в потенциальном ящике, имеет вид  $\psi_n(x) = C \sin\left(\frac{\pi n}{l} x\right)$ . Используя условия нормировки, определить постоянную  $C$ .

**46.17.** Решение уравнения Шредингера для бесконечно глубокого одномерного прямоугольного потенциального ящика можно записать в виде  $\psi(x) = C_1 e^{ikx} + C_2 e^{-ikx}$ , где  $k = \frac{\sqrt{mE}}{\hbar}$ . Используя гра-

ничные условия и нормировку  $\psi$ -функции, определить: 1) коэффициенты  $C_1$  и  $C_2$ ; 2) собственные значения энергии  $E_n$ . Найти выражение для собственной нормированной  $\psi$ -функции.

**46.18.** Изобразить на графике вид первых трех собственных функций  $\psi_n(x)$ , описывающих состояние электрона в потенциальном ящике шириной  $l$ , а также вид  $|\psi_n(x)|^2$ . Установить соответствие между числом  $N$  узлов волновой функции (т.е. числом точек, где волновая функция обращается в нуль в интервале  $0 < x < l$ ) и квантовым числом  $n$ . Функцию считать нормированной на единицу.

**46.19.** Частица в потенциальном ящике шириной  $l$  находится в возбужденном состоянии ( $n = 2$ ). Определить, в каких точках интервала ( $0 < x < l$ ) плотность вероятности  $|\psi_2(x)|^2$  нахождения частицы максимальна и минимальна.

**46.20.** Электрон находится в потенциальном ящике шириной  $l$ . В каких точках в интервале  $0 < x < l$  плотность вероятности нахождения электрона на первом и втором энергетических уровнях одинакова? Вычислить плотность вероятности для этих точек. Решение пояснить графически.

**46.21.** Частица в потенциальном ящике находится в основном состоянии. Какова вероятность  $W$  нахождения частицы: 1) в средней трети ящика; 2) в крайней трети ящика?

**46.22.** В одномерном потенциальном ящике шириной  $l$  находится электрон. Вычислить вероятность  $W$  нахождения электрона на первом энергетическом уровне в интервале  $\frac{1}{4}$ , равноудаленном от стенок ящика.

**46.23.** Частица в потенциальном ящике шириной  $l$  находится в низшем возбужденном состоянии. Определить вероятность  $W$  нахождения частицы в интервале  $\frac{1}{4}$ , равноудаленном от стенок ящика.

**46.24.** Вычислить отношение вероятностей  $W_1/W_2$  нахождения электрона на первом и втором энергетических уровнях в интервале  $1/4$ , равноудаленном от стенок одномерной потенциальной ямы шириной  $l$ .

**46.25.** Показать, что собственные функции  $\psi_n(x) = \sqrt{\frac{2}{l}} \sin\left(\frac{\pi n}{l} x\right)$  и  $\psi_m(x) = \sqrt{\frac{2}{l}} \sin\left(\frac{\pi m}{l} x\right)$ , описывающие состояние частицы в потенциальном ящике, удовлетворяют условию ортогональности, т.е.

$$\int_0^l \psi_n(x) \psi_m(x) dx = \begin{cases} 1 & \text{при } n = m \\ 0 & \text{при } n \neq m \end{cases}$$

**46.26.** Электрон находится в одномерном потенциальном ящике шириной  $l$ . Определить среднее значение координаты  $\langle x \rangle$  электрона ( $0 < x < l$ ).

**46.27.** Используя выражение энергии  $E_n = \frac{\pi^2 \hbar^2 n^2}{2ml^2}$  частицы, находящейся в потенциальном ящике, получить приближенное выражение энергии: 1) гармонического осциллятора; 2) водородоподобного атома. Сравнить полученные результаты с истинными значениями энергий.

### Двух- и трехмерный потенциальный ящик

**46.28.** Считая, что нуклоны в ядре находятся в трехмерном потенциальном ящике кубической нормы с линейными размерами  $l = 10$  фм, оценить низший энергетический уровень нуклонов в ядре.

**46.29.** Определить из условия нормировки коэффициент  $C$  собственной  $\psi$ -функции  $\psi_{n_1 n_2}(x, y) = C \sin\left(\frac{\pi n_1}{l_1} x\right) \cdot \sin\left(\frac{\pi n_2}{l_2} y\right)$ , описывающей состояние электрона в двумерном бесконечно глубоком потенциальном ящике со сторонами  $l_1$  и  $l_2$ .

**46.30.** Электрон находится в основном состоянии в двумерном квадратном бесконечно глубоком потенциальном ящике со стороной  $l$ . Определить вероятность  $W$  нахождения электрона в области, ограниченной квадратом, который равноудален от стенок ящика и площадь которого составляет  $1/4$  площади ящика.

**46.31.** Определить из условия нормировки коэффициент собственной  $\psi$ -функции

$$\psi_{n_1 n_2 n_3}(x, y, z) = C \sin\left(\frac{\pi n_1}{l_1} x\right) \cdot \sin\left(\frac{\pi n_2}{l_2} y\right) \cdot \sin\left(\frac{\pi n_3}{l_3} z\right),$$

описывающей состояние электрона в трехмерном потенциальном бесконечно глубоком ящике со сторонами  $l_1, l_2, l_3$ .

### Низкий потенциальный барьер бесконечной ширины

**46.32.** Написать уравнение Шредингера для электрона с энергией  $E$ , движущегося в положительном направлении оси  $x$  для областей  $I$  и  $II$  (см. рис. 1), если на границе этих областей имеется низкий потенциальный барьер высотой  $U$ .

**46.33.** Написать решения уравнений Шредингера (см. предыдущую задачу) для областей  $I$  и  $II$ . Какой смысл имеют коэффициенты  $A_1$  и  $B_1$  для  $\psi_I(x)$  и  $A_2$  и  $B_2$  для  $\psi_{II}(x)$ ? Чему равен коэффициент  $B_2$ ?

**46.34.** Зная решение уравнений Шредингера для областей  $I$  и  $II$  потенциального барьера  $\psi_I(x) = A_1 e^{ik_1 x} + B_1 e^{-ik_1 x}$ ,  $\psi_{II}(x) = A_2 e^{ik_2 x}$  определить из условий непрерывности  $\psi$ -функций и их первых производных на границе барьера отношение амплитуд вероятности  $B_1/A_1$  и  $A_2/A_1$ .

**46.35.** Зная отношение амплитуд вероятности  $\frac{A_1}{A_2} = \frac{k_1 - k_2}{k_1 + k_2}$  для волны, отраженной от барьера, и  $\frac{A_1}{A_2} = \frac{2k_1}{k_1 + k_2}$  для проходящей волны, найти выражение для коэффициента отражения  $\rho$  и коэффициента прохождения  $\tau$ .

**46.36.** Считая выражение для коэффициента отражения  $\rho$  от потенциального барьера и коэффициента прохождения  $\tau$  известными, показать, что  $\rho + \tau = 1$ .

**46.37.** Электрон с энергией  $E = 25$  эВ встречает на своем пути потенциальный барьер высотой  $U = 9$  эВ (см. рис. 1). Определить коэффициент преломления  $n$  волн де Бройля на границе барьера.



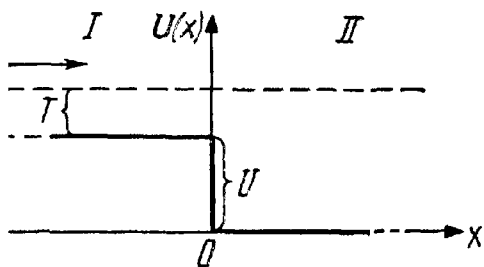


Рис. 8.10

**46.38.** Определить коэффициент преломления  $n$  волн де Бройля для протонов на границе потенциальной ступени (рис. 8.10). Кинетическая энергия протонов равна 16 эВ, а высота  $U$  потенциальной ступени равна 9 эВ.

**46.39.** Электрон обладает энергией  $E = 10$  эВ. Определить, во сколько раз изменится его скорость  $v$ , длина волны де Бройля  $\lambda$  и фазовая скорость при прохождении через потенциальный барьер (см. рис. 1) высотой  $U = 6$  эВ.

**46.40.** Протон с энергией  $E = 1$  МэВ изменил при прохождении потенциального барьера дебройлевскую длину волны на 1%. Определить высоту  $U$  потенциального барьера.

**46.41.** На пути электрона с дебройлевской длиной волны  $\lambda_1 = 0,1$  нм находится потенциальный барьер высотой  $U = 120$  эВ. Определить длину волны де Бройля  $\lambda_2$  после прохождения барьера.

**46.42.** Электрон с энергией  $E = 100$  эВ попадает на потенциальный барьер высотой  $U = 64$  эВ. Определить вероятность  $W$  того, что электрон отразится от барьера.

**46.43.** Найти приближенное выражение коэффициента отражения  $r$  от очень низкого потенциального барьера ( $U \ll E$ ).

**46.44.** Коэффициент отражения  $r$  протона от потенциального барьера равен  $2,5 \cdot 10^{-5}$ . Определить, какой процент составляет высота  $U$  барьера от кинетической энергии  $T$  падающих на барьер протонов.

**46.45.** Вывести формулу, связывающую коэффициент преломления  $n$  волн де Бройля на границе низкого потенциального барьера и коэффициент отражения  $r$  от него.

**46.46.** Определить показатель преломления  $n$  волн де Бройля при прохождении частицей потенциального барьера с коэффициентом отражения  $r = 0,5$ .

**46.47.** При каком отношении высоты  $U$  потенциального барьера и энергии  $E$  электрона, падающего на барьер, коэффициент отражения  $r = 0,5$ ?

**46.48.** Электрон с энергией  $E = 10$  эВ падает на потенциальный барьер. Определить высоту  $U$  барьера, при которой показатель

преломления  $n$  волн де Бройля и коэффициент отражения  $\rho$  численно совпадают.

**46.49.** Кинетическая энергия  $T$  электрона в два раза превышает высоту  $U$  потенциального барьера. Определить коэффициент отражения  $\rho$  и коэффициент прохождения  $\tau$  электронов на границе барьера.

**46.50.** Коэффициент прохождения  $\tau$  электронов через низкий потенциальный барьер равен коэффициенту отражения  $\rho$ . Определить, во сколько раз кинетическая энергия  $T$  электронов больше высоты  $U$  потенциального барьера.

**46.51.** Вывести формулу, связывающую коэффициент прохождения  $\tau$  электронов через потенциальный барьер и коэффициент преломления  $n$  волн де Бройля.

**46.52.** Коэффициент прохождения  $\tau$  протонов через потенциальный барьер равен 0,8. Определить показатель преломления  $n$  волн де Бройля на границе барьера.

**46.53.** Электрон с кинетической энергией  $T$  движется в положительном направлении оси  $x$ . Найти выражение для коэффициента отражения  $\rho$  и коэффициента прохождения  $\tau$  на границе потенциальной ступени высотой  $U$  (рис. 5).

**46.54.** Найти приближенное выражение для коэффициента прохождения  $\tau$  через низкий потенциальный барьер при условии, что кинетическая энергия  $T$  частицы в области II (см. рис. 1) много меньше высоты  $U$  потенциального барьера.

**46.55.** Вычислить коэффициент прохождения  $\tau$  электрона с энергией  $E = 100$  эВ через потенциальный барьер высотой  $U = 99,75$  эВ.

**46.56.** Показать на частном примере низкого потенциального барьера сохранение полного числа частиц, т.е. что плотность потока  $N$  электронов, падающих на барьер, равна сумме плотности потока  $N_\rho$  электронов, отраженных от барьера, и плотности потока  $N_\tau$  электронов, прошедших через барьер.

**46.57.** На низкий потенциальный барьер направлен моноэнергетический поток электронов с плотностью потока энергии  $J_1 = 10$  Вт/м<sup>2</sup>. Определить плотность потока энергии  $J_2$  электронов, прошедших барьер, если высота его  $U = 0,91$  эВ и энергия  $E$  электронов в падающем потоке равна 1 эВ.

**46.58.** Моноэнергетический поток электронов падает на низкий

потенциальный барьер (см. рис. 1). Коэффициент прохождения  $\tau = 0,9$ . Определить отношение  $J_2/J_1$  плотности потока энергии волны, прошедшей барьер, к плотности потока энергии волны, падающей на барьер.

**46.59.** На низкий потенциальный барьер падает моноэнергетический поток электронов. Концентрация  $n_0$  электронов в падающем потоке равна  $10^9 \text{ мм}^{-3}$ , а их энергия  $E = 100 \text{ эВ}$ . Определить давление, которое испытывает барьер, если его высота  $U = 9,7 \text{ эВ}$ .

### Высокий потенциальный барьер бесконечной ширины

*Прим.* Прямоугольный потенциальный барьер называется низким, если энергия  $E$  частицы больше высоты  $U$  потенциального барьера, в противном случае барьер называется высоким.

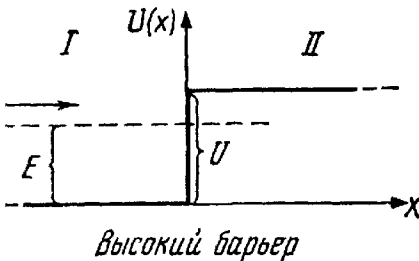


Рис. 8.11

**46.61.** Для областей  $I$  и  $II$  высокого потенциального барьера (см. рис. 5)  $\psi$ -функции имеют вид  $\psi_I(x) = A_1 e^{ik_1 x} + B_1 e^{-ik_1 x}$ ,  $\psi_{II}(x) = A_2 e^{-kx}$ . Используя непрерывность  $\psi$ -функций и их первых производных на границе барьера, найти отношение амплитуд  $A_2/A_1$ .

**46.62.** Написать выражение для  $\psi_{II}(x)$  в области  $II$  (рис. 6) высокого потенциального барьера, если  $\psi$ -функция нормирована так, что  $A_1 = 1$ .

**46.63.** Амплитуда  $A_2$  волны в области  $II$  высокого потенциального барьера (рис. 6) равна  $\frac{2k_1}{k_1 + ik}$ ;  $k_1 = \frac{\sqrt{2mE}}{\hbar}$ ;  $k = \frac{\sqrt{2m(U-E)}}{\hbar}$ .

Установить выражение для плотности вероятности нахождения частицы в области  $II$  ( $x > 0$ ), если энергия частицы равна  $E$ , а высота потенциального барьера равна  $U$ .

**46.64.** Используя выражение для коэффициента отражения от

**46.60.** Написать уравнение Шредингера и найти его решение для электрона, движущегося в положительном направлении оси  $x$  для областей  $I$  и  $II$  (рис. 8.11), если на границе этих областей имеется потенциальный барьер высотой  $U$ .

низкой ступени  $\rho = \left| \frac{k_1 - k_2}{k_1 + k_2} \right|^2$ , где  $k_1$  и  $k_2$  – волновые числа, найти выражение коэффициента отражения от высокой ступени ( $T < U$ ).

**46.65.** Показать, что имеет место полное отражение электронов от высокого потенциального барьера, если коэффициент отражения может быть записан в виде  $\rho = \left| \frac{k_1 - ik}{k_1 + ik} \right|^2$ .

**46.66.** Определить плотность, вероятности  $|\psi_{II}(0)|^2$  нахождения электрона в области  $II$  высокого потенциального барьера в точке  $x = 0$ , если энергия электрона равна  $E$ , высота потенциального барьера равна  $U$  и  $\psi$ -функция нормирована так, что  $A_1 = 1$ .

### Прямоугольный потенциальный барьер конечной ширины

**46.67.** Написать уравнения Шредингера для частицы с энергией  $E$ , движущейся в положительном направлении оси  $x$  для областей  $I$ ,  $II$  и  $III$  (см. рис. 3), если на границах этих областей имеется прямоугольный потенциальный барьер высотой  $U$  и шириной  $d$ .

**46.68.** Написать решения уравнений Шредингера (см. предыдущую задачу) для областей  $I$ ,  $II$  и  $III$ , пренебрегая волнами, отраженными от границ  $I-II$  и  $II-III$ , и найти коэффициент прозрачности  $D$  барьера.

**46.69.** Найти вероятность  $W$  прохождения электрона через прямоугольный потенциальный барьер при разности энергий  $U - E = 1$  эВ, если ширина барьера: 1)  $d = 0,1$  нм; 2)  $d = 0,5$  нм.

**46.70.** Электрон проходит через прямоугольный потенциальный барьер шириной  $d = 0,5$  нм. Высота  $U$  барьера больше энергии  $E$  электрона на 1 %. Вычислить коэффициент прозрачности  $D$ , если энергия электрона: 1)  $E = 10$  эВ; 2)  $E = 100$  эВ.

**46.71.** Ширина  $d$  прямоугольного потенциального барьера равна  $0,2$  нм. Разность энергий  $U - E = 1$  эВ. Во сколько раз изменится вероятность  $W$  прохождения электрона через барьер, если разность энергий возрастет в  $n = 10$  раз?

**46.72.** Электрон с энергией  $E = 9$  эВ движется в положительном направлении оси  $x$ . При какой ширине  $d$  потенциального барьера коэффициент прозрачности  $D = 0,1$ , если высота  $U$  барьера равна  $10$  эВ? Изобразите на рисунке примерный вид волновой

функции (ее действительную часть) в пределах каждой из областей I, II, III (см. рис. 3).

**46.73.** При какой ширине  $d$  прямоугольного потенциального барьера коэффициент прозрачности  $D$  для электронов равен 0,01? Разность энергий  $U - E = 10$  эВ.

**46.74.** Электрон с энергией  $E$  движется в положительном направлении оси  $x$ . При каком значении  $U - E$ , выраженном в электрон-вольтах, коэффициент прозрачности  $D = 10^{-3}$ , если ширина  $d$  барьера равна 0,1 нм?

**46.75.** Электрон с энергией  $E = 9$  эВ движется в положительном направлении оси  $x$ . Оценить вероятность  $W$  того, что электрон пройдет через потенциальный барьер, если его высота  $U = 10$  эВ и ширина  $d = 0,1$  нм.

### 8.2.3. Строение атома

#### Основные формулы

- Уравнение Шредингера для стационарных состояний в сферических координатах

$$\frac{1}{r^2} \frac{\partial}{\partial r} \left( r^2 \frac{\partial \psi}{\partial r} \right) + \frac{1}{r^2} \left[ \frac{1}{\sin \vartheta} \frac{\partial}{\partial \vartheta} \left( \sin \vartheta \frac{\partial \psi}{\partial \vartheta} \right) + \frac{1}{\sin^2 \vartheta} \frac{\partial^2 \psi}{\partial \varphi^2} \right] + \frac{2m}{\hbar^2} (E - U) \psi = 0,$$

где  $\psi = \psi(r, \vartheta, \varphi)$  – волновая функция;

$E$  – полная энергия частицы;

$U$  – потенциальная энергия частицы (являющаяся функцией координат).

- В атоме водорода (или водородоподобном ионе) потенциальная энергия  $U(r)$  имеет вид

$$U(r) = -\frac{Ze^2}{4\pi\epsilon_0 r},$$

где  $Z$  – зарядовое число;

$e$  – элементарный заряд;

$\epsilon_0$  – электрическая постоянная.

- Собственное значение энергии  $E_n$  электрона в атоме водорода

$$E_n = -\frac{Z^2 e^4 m}{32\pi^2 \epsilon_0^2 \hbar^2 n^2},$$

где  $\hbar$  – постоянная Планка;

$n$  – главное квантовое число,  $n = 1, 2, 3, \dots$

• Символическая запись  $\psi$ -функции, описывающей состояние электрона в атоме водорода,

$$\psi_{n,l,m}(r, \vartheta, \varphi),$$

где  $n$ ,  $l$ ,  $m$  – квантовые числа соответственно главное, орбитальное, магнитное.

Вероятность  $dW$  того, что электрон находится в области, ограниченной элементом объема  $dV$ , взятого в окрестности точки с координатами  $r$ ,  $\vartheta$ ,  $\varphi$ ,

$$dW = |\psi_{n,l,m}(r, \vartheta, \varphi)|^2 dV,$$

где  $dV = r^2 \sin \vartheta d\vartheta d\varphi dr$  (в сферических координатах).

В  $s$ -состоянии ( $l = 0$ ,  $m = 0$ ) волновая функция сферически-симметричная (т. е. не зависит от углов  $\vartheta$  и  $\varphi$ ). Нормированные собственные  $\psi$ -функции, отвечающие  $s$ -состоянию (основному) и  $2s$ -состоянию,

$$\psi_{100}(r) = \frac{1}{\sqrt{\pi a^3}} e^{-r/a} \quad \text{и} \quad \psi_{200}(r) = \frac{1}{4\sqrt{2\pi a^3}} \left(2 - \frac{r}{a}\right) e^{-r/(2a)}$$

или в атомных единицах

$$\psi_{100}(\rho) = \frac{1}{\sqrt{\pi}} e^{-\rho} \quad \text{и} \quad \psi_{200}(\rho) = \frac{1}{4\sqrt{2\pi}} (2 - \rho) e^{-\rho/2}$$

где в качестве единицы длины принят боровский радиус

$$a = \frac{4\pi\epsilon_0\hbar}{e^2 m} = 52,9 \text{ пм. При таком выборе единицы длины расстояние}$$

от ядра  $\rho = r/a$  будет выражаться в безразмерных единицах длины, называемых атомными единицами.

Вероятность  $dW$  найти электрон в атоме водорода, находящемся в  $s$ -состоянии, в интервале  $(r, r+dr)$  одинакова по всем направлениям и определяется формулой

$$dW = |\psi_{n,0,0}(r)|^2 4\pi r^2 dr.$$

• Орбитальные момент импульса и магнитный момент электрона:

$$\mathfrak{L}_l = \hbar \sqrt{l(l+1)};$$

$$\mu_l = \mu_b \sqrt{l(l+1)},$$

где  $l$  – орбитальное квантовое число, которое может принимать значения  $0, 1, 2, \dots, (n-1)$ ;

$\mu_b$  – магнетон Бора,

$$\mu_b = \frac{e\hbar}{2m} = 0,927 \cdot 10^{-23} \text{ Дж/Тл.}$$

• Проекция орбитального момента импульса и магнитного момента на направление внешнего магнитного поля (совпадающего с осью  $Z$ ):

$$\mathfrak{J}_{l,z} = \hbar m_l;$$

$$\mu_{l,z} = \mu_b m_l.$$

• Гиромагнитное отношение для орбитальных магнитного и механического моментов

$$\frac{\mu_l}{\mathfrak{J}_l} = \frac{\mu_{l,z}}{\mathfrak{J}_{l,z}} = \frac{\mu_B}{\hbar} = \frac{1}{2} \frac{e}{m}.$$

• Спин и спиновый магнитный момент электрона:

$$\mathfrak{J}_s = \hbar \sqrt{s(s+1)};$$

$$\mu_s = 2\mu_B \sqrt{s(s+1)},$$

где  $s$  – спиновое квантовое число ( $s = 1/2$ ).

Спином называется собственный момент импульса электрона и других элементарных частиц. Спин не связан с перемещением частицы как целого и имеет квантовую природу. Спин выражается в единицах постоянной Планка  $\hbar$ .

• Проекция спиновых момента импульса и магнитного момента на направление внешнего магнитного поля (совпадающего с осью  $Z$ ):

$$\mathfrak{J}_{s,z} = \hbar m_s;$$

$$\mu_{s,z} = 2\mu_B m_s,$$

где  $m_s$  – спиновое магнитное квантовое число ( $m_s = -1/2, +1/2$ ). Гиромагнитное отношение для спиновых магнитного и механического моментов

$$\frac{\mu_s}{\mathfrak{J}_s} = \frac{\mu_{s,z}}{\mathfrak{J}_{s,z}} = 2 \frac{\mu_B}{\hbar} = \frac{e}{m}.$$

• Распределение электронов по состояниям в атоме записывается с помощью спектроскопических символов:

Значение побочного квантового числа	0	1	2	3	4	5	6	7
Спектроскопический символ	<i>s</i>	<i>p</i>	<i>d</i>	<i>f</i>	<i>g</i>	<i>h</i>	<i>i</i>	<i>k</i>

Электронная конфигурация записывается следующим образом: число, стоящее слева перед спектроскопическим символом, означает главное квантовое число  $n$ , а сам спектроскопический символ отвечает тому или иному значению орбитального квантового числа  $l$  (например, обозначению  $2p$  отвечает электрон с  $n = 2$  и  $l = 1$ ;  $2p^2$  означает, что таких электронов в атоме 2, и т.д.).

- Принцип Паули. В атоме не может находиться два (и более) электрона, характеризующихся одинаковым набором четырех квантовых чисел:  $n, l, m_l, m_s$ .

- Полный момент импульса электрона

$$\mathfrak{J}_j = \hbar\sqrt{j(j+1)},$$

где  $j$  – внутреннее квантовое число ( $j = l+1/2, l-1/2$ ).

- Полный орбитальный момент атома

$$\mathfrak{J}_L = \hbar\sqrt{L(L+1)},$$

где  $L$  – полное орбитальное квантовое число.

- Полный спиновый момент атома

$$\mathfrak{J}_S = \hbar\sqrt{S(S+1)},$$

где  $S$  – полное спиновое квантовое число.

- Полный момент импульса атома

$$\mathfrak{J}_J = \hbar\sqrt{J(J+1)},$$

где  $J$  – полное внутреннее квантовое число.

- Символическое обозначение состояния атома (спектральный терм)

$$^{2S+1}L_J,$$

где  $2S + 1$  – мультиплетность.

Вместо полного орбитального квантового числа  $L$  пишут символ в соответствии с таблицей:

Значение	0	1	2	3	4	5
Символ	$S$	$P$	$D$	$F$	$G$	$H$

**Пример.** Терм  $^2P_{3/2}$  расшифровывается следующим образом: мультиплетность  $2S + 1 = 2$ ; следовательно,  $S = 1/2$ , символу  $P$  соответствует  $L = 1$ , а  $J = 3/2$ .

- Магнитный момент атома

$$\mu_J = g\mu_B\sqrt{J(J+1)},$$



где  $g$  – множитель (или фактор) Ланде,

$$g = 1 + \frac{J(J+1) + S(S+1) - L(L+1)}{2J(J+1)}.$$

• Проекция магнитного момента атома на направление внешнего магнитного поля (совпадающего с осью  $Z$ )

$$\mu_{J,z} = g\mu_B m_J,$$

где  $m_J$  – полное магнитное квантовое число ( $m_J = J, J-1, \dots, -J$ ).

• Сила, действующая на атом в неоднородном магнитном поле,

$$F_z = \frac{\partial B}{\partial z} \mu_{J,z},$$

где  $\frac{\partial B}{\partial z}$  – градиент магнитной индукции.

• Частота ларморовой прецессии

$$\omega_L = \frac{eB}{2m},$$

где  $m$  – масса электрона.

• Энергия атома в магнитном поле

$$E = -\mu_{J,z} B.$$

• Величина расщепления спектральной линии при эффекте Зеемана:

а) сложном (аномальном)

$$\Delta\omega = (m_J'' g'' - m_J' g') \omega_L,$$

где  $m_J''$ ,  $m_J'$  и  $g''$ ,  $g'$  – магнитные квантовые числа и множители Ланде соответствующих термов;

б) простом (нормальном)

$$\Delta\omega = 0;$$

$$\pm\omega_L.$$

• Правила отбора для квантовых чисел  $S$ ,  $L$ ,  $J$  и  $m_S$ ,  $m_L$ ,  $m_J$ :

$$\Delta S = 0; \Delta m_S = 0;$$

$$\Delta L = \pm 1; \Delta m_L = 0, \pm 1;$$

$$\Delta J = 0, \pm 1; \Delta m_J = 0, \pm 1.$$

Не осуществляются переходы  $J = 0 \rightarrow J = 0$ , а при  $J = 0$  – переходы  $m_J = 0 \rightarrow m_J = 0$ .

### 8.2.3.1. Примеры решения задач

**Пример 1.** Атом водорода находится в состоянии  $1s$ . Определить вероятность  $W$  пребывания электрона в атоме внутри сферы радиусом  $r = 0,1a$  (где  $a$  – радиус первой борховской орбиты). Волновая функция, описывающая это состояние, считается известной.

**Решение.** Вероятность обнаружить электрон в окрестности точки с координатами  $r, \vartheta, \varphi$  в объеме  $dV$  определяется равенством

$$dW = |\psi_{n,l,m}(r, \vartheta, \varphi)|^2 dV.$$

В  $1s$ -состоянии волновая функция  $\psi$  сферически симметрична, т.е. зависит только от  $r$ , и поэтому

$$dW = |\psi_{100}(r)|^2 dV, \quad (1)$$

где  $\psi_{100}(r)$  – собственная нормированная волновая функция, отвечающая основному состоянию:  $\psi_{100}(r) = \frac{1}{\sqrt{\pi a^3}} e^{-r/a}$ .

Благодаря сферической симметрии  $\psi$ -функции вероятность обнаружить электрон на расстоянии  $r$  одинакова по всем направлениям. Поэтому элемент объема  $dV$ , отвечающий одинаковой плотности вероятности, можно представить в виде объема сферического слоя радиусом  $r$  и толщиной  $dr$ :  $dV = 4\pi r^2 dr$ .

С учетом выражений  $\psi_{100}(r)$  и  $dV$  формула (1) запишется в виде

$$dW = \left| \frac{1}{\sqrt{\pi a^3}} e^{-r/a} \right|^2 4\pi r^2 dr = \frac{4}{a^3} e^{-2r/a} r^2 dr.$$

При вычислении вероятности удобно перейти к атомным единицам, приняв в качестве единицы длины радиус первой борховской орбиты  $a$ . Если ввести безразмерную величину  $\rho = r/a$ , то

$$r^2 = \rho^2 a^2, \quad dr = a d\rho, \quad dW = 4e^{-2\rho} \rho^2 d\rho.$$

Вероятность найдем, интегрируя  $dW$  в пределах от  $r_1 = 0$  до  $r_2 = 0,1a$  (или от  $\rho_1 = 0$  до  $\rho_2 = 0,1$ ):

$$W = 4 \int_0^{0,1} \rho^2 e^{-2\rho} d\rho.$$

Этот интеграл может быть точно вычислен интегрированием по частям, однако при малых  $\rho$  ( $\rho_{\max} = 0,1$ ) выражение  $e^{-2\rho}$  можно разложить в ряд Маклорена:

$$e^{-2\rho} = 1 - 2\rho + \frac{1}{2!} (2\rho)^2 - \dots$$

и произвести приближенное вычисление.

Пренебрегая всеми членами степени выше первой, запишем интеграл в виде

$$W = 4 \int_0^{0,1} (1 - 2\rho) \rho^2 d\rho = 4 \int_0^{0,1} \rho^2 d\rho - 8 \int_0^{0,1} \rho^3 d\rho$$

Первый и второй интегралы дают соответственно результаты

$$4 \left[ \frac{\rho^3}{3} \right]_0^{0,1} = \frac{4}{3} \cdot 10^{-3} \quad \text{и} \quad 8 \left[ \frac{\rho^4}{4} \right]_0^{0,1} = 0,2 \cdot 10^{-3}.$$

Таким образом, искомая вероятность

$$W = 1,33 \cdot 10^{-3} - 0,2 \cdot 10^{-3} = 1,13 \cdot 10^{-3}.$$

**Пример 2.** Электрон в возбужденном атоме водорода находится в  $3p$ -состоянии. Определить изменение магнитного момента, обусловленного орбитальным движением электрона, при переходе атома в основное состояние.

**Решение.** Изменение  $\Delta\mu_l$  магнитного момента найдем как разность магнитных моментов в конечном (основном) и начальном (возбужденном) состояниях, т.е.

$\Delta\mu_l = \mu_{l2} - \mu_{l1}$ . Магнитный момент орбитального движения электрона зависит только от орбитального квантового числа  $l$

$$\mu_l = \mu_B \sqrt{l(l+1)}.$$

Отсюда имеем: в основном состоянии  $l = 0$  и  $\mu_{l2} = 0$ ; в возбужденном ( $3p$ ) состоянии  $l = 1$  и  $l = 1$  и  $\mu = -\mu_B \sqrt{2}$ . Следовательно, изменение магнитного момента

$$\Delta\mu_l = -\mu_B \sqrt{2}.$$

Знак минус показывает, что в данном случае магнитный момент уменьшился. Подставив значение  $\mu_B = 0,927 \cdot 10^{-23}$  Дж/Тл, получим

$$\Delta\mu_l = -1,31 \cdot 10^{-23} \text{ Дж/Тл}.$$

### 8.2.3.2. Вопросы и задачи для самостоятельного решения

#### Атом водорода

47.1. Уравнение Шредингера в сферической системе координат для электрона, находящегося в водородоподобном атоме, имеет вид

$$\frac{1}{r^2} \frac{\partial}{\partial r} \left( r^2 \frac{\partial \psi}{\partial r} \right) + \frac{1}{r^2} \left\{ \frac{1}{\sin \vartheta} \frac{\partial}{\partial \vartheta} \left( \sin \vartheta \frac{\partial \psi}{\partial \vartheta} \right) + \frac{1}{\sin^2 \vartheta} \frac{d^2 \psi}{d\varphi^2} \right\} + \frac{2m}{\hbar^2} \left( E + \frac{Ze^2}{4\pi\epsilon_0 r} \right) \psi = 0$$

Показать, что это уравнение разделяется на два, если волновую функцию представить в виде произведения двух функций:

$$\psi(r, \vartheta, \varphi) = R(r)Y(\vartheta, \varphi),$$

где  $R(r)$  – радиальная и  $Y(\vartheta, \varphi)$  – угловая функции.

**47.2.** Уравнение для радиальной  $R(r)$  функции, описывающей состояние электрона в атоме водорода, имеет вид

$$\frac{d^2 R}{dr^2} + \frac{2}{r} \frac{dR}{dr} + \left[ \alpha + \frac{2\beta}{r} - \frac{l(l+1)}{r^2} \right] R = 0,$$

где  $\alpha$ ,  $\beta$  и  $l$  – некоторые параметры.

Используя подстановку  $\chi(r) = rR(r)$  преобразовать его к виду

$$\frac{d^2 \chi}{dr^2} + \left[ \alpha + \frac{2\beta}{r} - \frac{l(l+1)}{r^2} \right] \chi = 0.$$

**47.3.** Уравнение для радиальной функции  $\chi(r)$  может быть преобразовано к виду

$$\frac{d^2 \chi}{dr^2} + \left[ \alpha + \frac{2\beta}{r} - \frac{l(l+1)}{r^2} \right] \chi(r) = 0,$$

где  $\alpha = \frac{2mE}{\hbar^2}$ ;  $\beta = \frac{Ze^2 m}{(4\pi\epsilon_0 \hbar)^2}$ ;

$l$  – целое число.

Найти асимптотические решения уравнения при больших числах  $r$ . Указать, какие решения с  $E > 0$  или с  $E < 0$  приводят к связанным состояниям.

**47.4.** Найти по данным предыдущей задачи асимптотическое решение уравнения при малых  $r$ .

*Прим.* Считать при малых  $r$  члены  $\alpha$  и  $2\beta/r$  малыми по сравнению с  $l(l+1)/r^2$ . Применить подстановку  $\chi(r) = r^l$ .

**47.5.** Найти решение уравнения для радиальной функции  $R(r)$ , описывающей основное состояние ( $l = 0$ ), и определить энергию электрона в этом состоянии. Исходное уравнение для радиальной функции может быть записано в виде

$$\frac{d^2 R}{dr^2} + \frac{2}{r} \frac{dR}{dr} + \left[ \alpha + 2\frac{\beta}{r} - \frac{l(l+1)}{r^2} \right] R = 0,$$

где  $\alpha = \frac{2mE}{\hbar^2}$ ;  $\beta = \frac{Ze^2m}{(4\pi\epsilon_0\hbar)^2}$ ;

$l$  – орбитальное квантовое число.

*Прим.* Применить подстановку  $R(r) = e^{-\gamma r}$ .

**47.6.** Атом водорода находится в основном состоянии. Собственная волновая функция, описывающая состояние электрона в атоме, имеет вид  $\psi(r) = Ce^{-r/a}$ , где  $C$  – некоторая постоянная. Найти из условия нормировки постоянную  $C$ .

**47.7.** Собственная функция, описывающая основное состояние электрона в атоме водорода, имеет вид  $\psi(r) = Ce^{-r/a}$ , где  $\alpha = \frac{4\pi\epsilon_0\hbar^2}{e^2m}$  (боровский радиус). Определить расстояние  $r$ , на котором вероятность нахождения электрона максимальна.

**47.8.** Электрон в атоме водорода описывается в основном состоянии волновой функцией  $\psi(r) = Ce^{-r/a}$ . Определить отношение вероятностей  $\omega_1/\omega_2$  пребывания электрона в сферических слоях толщиной  $\Delta r = 0,01a$  и радиусами  $r_1 = 0,5a$  и  $r_2 = 1,5a$ .

**47.9.** Атом водорода находится в основном состоянии. Вычислить: 1) вероятность  $\omega_1$  того, что электрон находится внутри области, ограниченной сферой радиуса, равного боровскому радиусу  $a$ ; 2) вероятность  $\omega_2$  того, что электрон находится вне этой области; 3) отношение вероятностей  $\omega_2/\omega_1$ . Волновую функцию считать известной:

$$\psi_{100}(r) = \frac{1}{\sqrt{\pi a^3}} e^{-\frac{r}{a}}.$$

**47.10.** Зная, что нормированная собственная волновая функция, описывающая основное состояние электрона в атоме водорода, имеет вид  $\psi(r) = \frac{1}{\sqrt{\pi a^3}} e^{-\frac{r}{a}}$ , найти среднее расстояние  $\langle r \rangle$  электрона от ядра.

**47.11.** Принято электронное облако (орбиталь) графически изображать контуром, ограничивающим область, в которой вероятность обнаружения электрона составляет 0,9. Вычислить в атомных единицах радиус орбитали для  $1s$ -состояния электрона в атоме водорода. Волновая функция, отвечающая этому состоянию,

$\Psi_{100}(\rho) = \frac{e^{-\rho}}{\sqrt{\pi}}$ , где  $\rho$  – расстояние электрона от ядра, выраженное в атомных единицах.

*Прим.* Получающееся трансцендентное уравнение решить графически.

**47.12.** Волновая функция, описывающая  $2s$ -состояние электрона в атоме водорода, имеет вид  $\Psi_{200}(\rho) = \frac{(2-\rho)e^{-\rho/2}}{4\sqrt{2\pi}}$ , где  $\rho$  – расстояние электрона от ядра, выраженное в атомных единицах. Определить: 1) расстояние  $\rho_1$  от ядра, на которых вероятность обнаружить электрон имеет максимум; 2) расстояния  $\rho_2$  от ядра, на которых вероятность нахождения электрона равна нулю; 3) построить графики зависимости  $|\Psi_{200}(\rho)|^2$  от  $\rho$  и  $\rho^2|\Psi_{200}(\rho)|^2$  от  $\rho$ .

**47.13.** Уравнение для угловой функции  $Y(\vartheta, \varphi)$  в сферической системе координат может быть записано в виде

$$\frac{1}{Y} \left\{ \frac{1}{\sin \vartheta} \frac{\partial}{\partial \vartheta} \left( \sin \vartheta \frac{\partial Y}{\partial \vartheta} \right) + \frac{1}{\sin^2 \vartheta} \frac{\partial^2 Y}{\partial \varphi^2} \right\} = -\lambda,$$

где  $\lambda$  – некоторая постоянная.

Показать, что это уравнение можно разделить на два, если угловую функцию представить в виде произведения двух функций:  $Y(\vartheta, \varphi) = \Theta(\vartheta)\Phi(\varphi)$ , где  $\Theta(\vartheta)$  – функция, зависящая только от угла  $\vartheta$ ;  $\Phi(\varphi)$  – то же, только от угла  $\varphi$ .

**47.14.** Угловая функция  $\Phi(\varphi)$  удовлетворяет уравнению  $\frac{d^2\Phi}{d\varphi^2} + m\Phi = 0$ . Решить уравнение и указать значения параметра  $m$ , при которых уравнение имеет **решение**.

**47.15.** Зависящая от угла  $\varphi$  угловая функция имеет вид  $\Phi(\varphi) = Ce^{im\varphi}$ . Используя условие нормировки, определить постоянную  $C$ .

**47.16.** Изобразить графически угловое распределение плотности вероятности нахождения электрона в атоме водорода, если угловая функция  $Y_{l,m}(\vartheta, \varphi)$  имеет вид: 1) в  $s$ -состоянии ( $l=0$ )  $Y_{0,0} \frac{1}{\sqrt{\pi}}$ ; 2) в  $p$ -состоянии ( $l=1$ ) при трех значениях  $m$ : а)  $m=1$ ,

$$Y_{1,1} = \frac{\sqrt{3}}{8\pi \sin(\vartheta e^{i\phi})}; \quad \text{б) } m = 0, \quad Y_{1,0} = \frac{\sqrt{3}}{4\pi \cos(\vartheta)}, \quad \text{в) } m = -1,$$

$Y_{1,-1} = \frac{\sqrt{3}}{8\pi \sin(\vartheta e^{-i\phi})}$ . Для построений воспользоваться полярной системой координат.

**47.17.** Угловое распределение плотности вероятности нахождения электрона в атоме водорода определяется видом угловой функции  $Y_{l,m}(\vartheta, m)$ . Показать, что  $p$ -подоболочка имеет сферически симметричное распределение плотности вероятности. Воспользоваться данными предыдущей задачи.

### Орбитальный момент импульса и магнитный момент электрона

**47.18.** Вычислить момент импульса  $\mathfrak{Z}_l$  орбитального движения электрона, находящегося в атоме: 1) в  $s$ -состоянии; 2) в  $p$ -состоянии.

**47.19.** Определить возможные значения проекции момента импульса  $\mathfrak{Z}_{lz}$  орбитального движения электрона в атоме на направление внешнего магнитного поля. Электрон находится в  $d$ -состоянии.

**47.20.** Атом водорода, находившийся первоначально в основном состоянии, поглотил квант света с энергией  $\varepsilon = 10,2$  эВ. Определить изменение момента импульса  $\Delta\mathfrak{Z}_l$  орбитального движения электрона. В возбужденном атоме электрон находится в  $p$ -состоянии.

**47.21.** Используя векторную модель атома, определить наименьший угол  $\alpha$ , который может образовать вектор  $\mathfrak{Z}_l$  момента импульса орбитального движения электрона в атоме с направлением внешнего магнитного поля. Электрон в атоме находится в  $d$ -состоянии.

**47.22.** Электрон в атоме находится в  $f$ -состоянии. Найти орбитальный момент импульса  $\mathfrak{Z}_l$  электрона и максимальное значение проекции момента импульса  $\mathfrak{Z}_{lz\max}$  на направление внешнего магнитного поля.

**47.23.** Момент импульса  $\mathfrak{Z}_l$  орбитального движения электрона в атоме водорода равен  $1,83 \cdot 10^{-34}$  Дж·с. Определить магнитный момент  $\mu_l$ , обусловленный орбитальным движением электрона.

**47.24.** Вычислить полную энергию  $E$ , орбитальный момент импульса  $\mathfrak{J}_l$  и магнитный момент  $\mu_l$  электрона, находящегося в  $2p$ -состоянии в атоме водорода.

**47.25.** Может ли вектор магнитного момента  $\mu_l$  орбитального движения электрона установиться строго вдоль линий магнитной индукции?

**47.26.** Определить возможные значения магнитного момента  $\mu_l$ , обусловленного орбитальным движением электрона в возбужденном атоме водорода, если энергия  $\epsilon$  возбуждения равна 12,09 эВ.

### **Спиновый момент импульса и магнитный момент электрона**

**47.27.** Вычислить спиновый момент импульса  $\mathfrak{J}_s$  электрона и проекцию  $\mathfrak{J}_{sz}$  этого момента на направление внешнего магнитного поля.

**47.28.** Вычислить спиновый магнитный момент  $\mu_s$  электрона и проекцию магнитного момента  $\mu_{sz}$  на направление внешнего поля.

**47.29.** Почему для обнаружения спина электрона в опытах Штерна и Герлаха используют пучки атомов, принадлежащих первой группе периодической системы, причем в основном состоянии?

**47.30.** Атомы серебра, обладающие скоростью  $v = 0,6$  км/с, пропускаются через узкую щель и направляются перпендикулярно линиям индукции неоднородного магнитного поля (опыт Штерна и Герлаха). В поле протяженностью  $l = 6$  см пучок расщепляется на два. Определить степень неоднородности  $\partial B/\partial z$  магнитного поля, при которой расстояние  $b$  между компонентами расщепленного пучка по выходе его из поля равно 3 мм. Атомы серебра находятся в основном состоянии.

**47.31.** Узкий пучок атомарного водорода пропускается в опыте Штерна и Герлаха через поперечное неоднородное ( $\partial B/\partial z = 2$  кТл/м) магнитное поле протяженностью  $l = 8$  см. Скорость  $v$  атомов водорода равна 4 км/с. Определить расстояние  $b$  между компонентами расщепленного пучка атомов по выходе его из магнитного поля. Все атомы водорода в пучке находятся в основном состоянии.

**47.32.** В опыте Штерна и Герлаха узкий пучок атомов цезия (в



основном состоянии) проходит через поперечное неоднородное магнитное поле и попадает на экран Э (рис. 8.12).

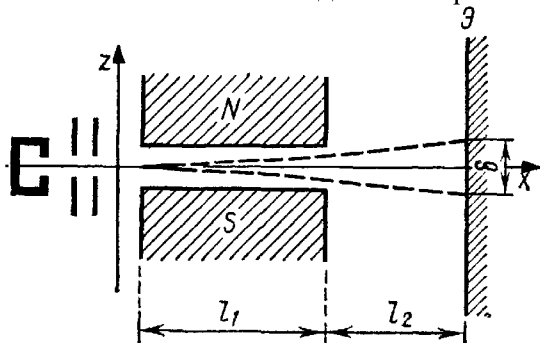


Рис. 8.12

Какова должна быть степень неоднородности  $\partial B/\partial z$  магнитного поля, чтобы расстояние  $b$  между компонентами расщепленного пучка на экране было равно 6 мм? Принять  $l_1 = l_2 = 10$  см. Скорость атомов цезия равна 0,3 км/с.

**47.33.** Узкий пучок атомов рубидия (в основном состоянии) пропускается через поперечное неоднородное магнитное поле протяженностью  $l = 10$  см (рис. 1). На экране Э, отстоящем на расстоянии  $l_2 = 20$  см от магнита, наблюдается расщепление пучка на два. Определить силу  $F_z$ , действующую на атомы рубидия, если расстояние  $b$  между компонентами пучка на экране равно 4 мм и скорость  $v$  атомов равна 0,5 км/с.

**47.34.** Узкий пучок атомов серебра при прохождении неоднородного ( $\partial B/\partial z = 1$  кТл/м) магнитного поля протяженностью  $l_1 = 4$  см расщепился на два пучка. Экран для наблюдения удален от границы магнитного поля на расстояние  $l_2 = 10$  см (рис. 1). Определить (в магнетонах Бора) проекции  $\mu_{J,r}$  магнитного момента атома на направление вектора магнитной индукции, если расстояние  $b$  между компонентами расщепленного пучка на экране равно 2 мм и атомы серебра обладают скоростью  $v = 0,5$  км/с.

### Застройка электронных оболочек

**47.35.** Какое максимальное число  $s$ -,  $p$ - и  $d$ -электронов может находиться в электронных  $K$ -,  $L$ - и  $M$ - слоях атома?

**47.36.** Используя принцип Паули, указать, какое максимальное число  $N_{\max}$  электронов в атоме могут иметь одинаковыми следующие квантовые числа: 1)  $n, l, m, m_s'$ ; 2)  $n, l, m$ ; 3)  $n, l$ ; 4)  $n$ .

**47.37.** Заполненный электронный слой характеризуется квантовым числом  $n = 3$ . Указать число  $N$  электронов в этом слое, которые имеют одинаковые следующие квантовые числа: 1)  $m_s = +1/2$ ; 2)  $m = 2$ ; 3)  $m_s = -1/2$  и  $m = 0$ ; 4)  $m_s = +1/2$  и  $l = 2$ .

**47.38.** Найти число  $N$  электронов в атомах, у которых в основном состоянии заполнены: 1)  $K$ - и  $L$ - слои,  $3s$ -оболочка и наполовину  $3p$ -оболочка; 2)  $K$ -,  $L$ - и  $M$ -слои и  $4s$ -,  $4p$ - и  $4d$ -оболочки. Что это за атомы?

**47.39.** Написать формулы электронного строения атомов: 1) бора; 2) углерода; 3) натрия.

### **Векторная модель атома. Спектральные термы**

**47.40.** Как можно согласовать использование векторной модели атома с соотношением неопределенностей для проекций момента импульса?

**47.41.** Электрон в атоме водорода находится в  $p$ -состоянии. Определить возможные значения квантового числа  $j$  и возможные значения (в единицах  $\hbar$ ) полного момента импульса  $\mathfrak{J}_j$  электрона. Построить соответствующие векторные диаграммы.

**47.42.** В возбужденном атоме гелия один из электронов находится в  $p$ -состоянии, другой в  $d$ -состоянии. Найти возможные значения полного орбитального квантового числа  $L$  и соответствующего ему момента импульса  $\mathfrak{J}_L$ . (в единицах  $\hbar$ ). Построить соответствующие векторные диаграммы.

**47.43.** Определить угол  $\varphi$  между орбитальными моментами импульсов двух электронов, один из которых находится в  $d$ -состоянии, другой – в  $f$ -состоянии, при следующих условиях: 1) полное орбитальное квантовое число  $L = 3$ ; 2) искомый угол – максимальный; 3) искомый угол – минимальный.

**47.44.** Система из трех электронов, орбитальные квантовые числа  $l_1, l_2, l_3$  которых соответственно равны 1, 2, 3, находятся в  $s$ -состоянии. Найти угол  $\varphi_{1,2}$  между орбитальными моментами импульса первых двух электронов.

**47.45.** Каковы возможные значения полного момента импульса  $\mathfrak{J}_j$  электрона, находящегося в  $d$ -состоянии? Чему равны при этом углы  $\varphi$  между спиновым моментом импульса и орбитальным?

**47.46.** Спиновый момент импульса двухэлектронной системы определяется квантовым числом  $S = 1$ . Найти угол  $\varphi$  между спиновыми моментами импульса обоих электронов.

**47.47.** Система, состоящая из двух электронов, находится в состоянии с  $L = 2$ . Определить возможные значения угла  $\varphi$  между орбитальным моментом импульса  $p$ -электрона и полным орбиталь-

ным моментом импульса  $\mathfrak{J}_J$  системы.

**47.48.** Найти возможные значения угла между спиновым моментом импульса и полным моментом: 1) одноэлектронной системы, состоящей из  $d$ -электрона; 2) двухэлектронной системы с  $J = 2$ .

**47.49.** Определить возможные значения (в единицах  $\hbar$ ) проекции  $\mathfrak{J}_{sz}$  спинового момента импульса электронной системы, находящейся в состоянии  ${}^3D_3$ , на направление полного момента.

**47.50.** Определить возможные значения квантового числа  $J$  электронной системы, для которой: 1)  $S = 2$  и  $L = 1$ ; 2)  $S = 1$  и  $L = 3$ . Найти (в единицах  $\hbar$ ) возможные значения полного момента импульса  $\mathfrak{J}_J$  системы и построить соответствующие векторные диаграммы.

**47.51.** Определить возможные значения квантового числа  $J$ , соответствующего полному моменту импульса  $\mathfrak{J}_S$  электронной системы, у которой  $L = 3$ , а  $S$  принимает следующие значения: 1)  $3/2$ ; 2)  $2$ ; 3)  $5/2$ ; 4)  $4$ . Построить соответствующие векторные диаграммы.

**47.52.** Записать основные термы для следующих атомов: 1) H; 2) He; 3) Be; 4) Li; 5) B.

**47.53.** Перечислить возможные термы для следующих состояний атомов: 1)  ${}^2S$ ; 2)  ${}^2P$ ; 3)  ${}^4P$ ; 4)  ${}^5D$ .

**47.54.** Определить кратности вырождения следующих термов: 1)  ${}^2D_{3/2}$ ; 2)  ${}^3F_2$  3)  ${}^1F$ .

**47.55.** Объяснить на основе векторной модели атома наличие двух систем термов (синглетных и триплетных) в атомах с двумя валентными электронами.

**47.56.** Определить возможные мультиплетности  $(2S + 1)$  термов следующих атомов: 1) Li; 2) Be; 3) B; 4) C; 5) N.

**47.57.** Выписать все возможные термы для комбинации  $p$ - и  $d$ -электронов по типу связи Рассель-Саундерса. Дать их спектральные обозначения.

### **Магнитный момент атома. Атом в магнитном поле**

**47.58.** Вычислить множитель Ланде  $g$  для атомов с одним валентным электроном в состояниях  $S$  и  $P$ .

**47.59.** Вычислить множитель Ланде  $g$  для атомов, находящихся в синглетных состояниях.

**47.60.** Определить магнитный момент  $\mu_J$  атома в состоянии  ${}^1D$ .

Ответ выразить в магнетонах Бора ( $\mu_B$ ).

**47.61.** Вычислить магнитный момент  $\mu_J$  атома в состоянии  ${}^3P_2$ .

Ответ выразить в магнетонах Бора.

**47.62.** Атом находится в состоянии  ${}^2D_{3/2}$ . Найти число возможных проекций магнитного момента на направление внешнего поля и вычислить (в магнетонах Бора) максимальную проекцию  $\mu_{Jz\max}$ .

**47.63.** Вычислить в магнетонах Бора магнитный момент  $\mu_J$  атома водорода в основном состоянии.

**47.64.** Атом находится в состоянии  $1/F$ . Найти соответствующий магнитный момент  $\mu_{Jz}$  и возможные значения его проекции  $\mu_{Jz}$  на направление внешнего магнитного поля.

**47.65.** Максимальная проекция  $\mu_{Jz\max}$  магнитного момента атома, находящегося в состоянии  ${}^2D$ , составляет четыре магнетона Бора. Определить мультиплетность  $(2S + 1)$  соответствующего термина.

**47.66.** На сколько составляющих расщепляется в опыте Штерна и Герлаха пучок атомов, находящихся в состояниях: 1)  ${}^2P_{3/2}$ , 2)  ${}^1D$ ; 3)  ${}^5F_1$ .

**47.67.** Определить максимальные проекции  $\mu_{Jz\max}$  магнитных моментов атомов ванадия ( ${}^4F$ ), марганца ( ${}^6S$ ) и железа ( ${}^5D$ ), если известно, что пучки этих атомов при прохождении через сильно неоднородное магнитное поле по методу Штерна и Герлаха расщепляются соответственно на 4, 6 и 9 составляющих. В скобках указаны состояния, в которых находятся атомы.

**47.68.** Вычислить частоты  $\omega_L$  ларморовой прецессии электронных оболочек атомов: 1) в магнитном поле Земли ( $B = 5 \cdot 10^{-5}$  Тл); 2) в поле, магнитная индукция  $B$  которого равна 50 Тл.

### Эффект Зеемана

**47.71.** Какое магнитное поле в случае эффекта Зеемана следует считать: 1) «слабым», 2) «сильным»?

**47.72.** Состояния атома характеризуются двумя спектральными терминами. Указать квантовые числа  $S$ ,  $L$  и возможные значения квантового числа  $J$  для состояний: 1)  ${}^1S$  и  ${}^1P$ ; 2)  ${}^1S$  и  ${}^1F$ . Изобразить для этих состояний схему энергетических уровней при отсутствии магнитного поля.

**47.73.** Состояние атома характеризуется двумя спектральными терминами. Указать возможные значения квантового числа  $J$  для со-

стояний: 1)  $^2S$  и  $^2P$ ; 2)  $^3P$  и  $^2D$  3)  $^3S$  и  $^3D$ . Изобразить для этих состояний схему энергетических уровней с учетом спин-орбитального взаимодействия (естественного мультиплетного расщепления) при отсутствии магнитного поля.

## 8.2.4. Спектры молекул

### Основные формулы

- Приведенная масса двухатомной молекулы

$$\mu = m_1 m_2 (m_1 + m_2),$$

где  $m_1$  и  $m_2$  – массы атомов, входящих в состав молекулы.

- Собственная круговая частота осциллятора

$$\omega = \sqrt{\frac{\beta}{\mu}},$$

где  $\beta$  – коэффициент квазиупругой силы.

- Нулевая собственная волновая функция одномерного квантового гармонического осциллятора

$$\psi_0 = C_0 \exp\left(\frac{-\alpha^2 x^2}{2}\right),$$

где параметр  $\alpha = \sqrt{\frac{\mu\omega}{\hbar}}$ .

- Энергия колебания гармонического осциллятора

$$E_n = \hbar\omega(n + 1/2),$$

где  $n$  – колебательное квантовое число ( $n = 0, 1, 2, 3, \dots$ ).

Для квантового числа  $n$  существует правило отбора, согласно которому  $\Delta n = \pm 1$ .

- Нулевая энергия

$$E_0 = 1/2 \hbar\omega.$$

- Энергия колебания ангармонического осциллятора

$$E_v = \hbar\omega[(v + 1/2) - \gamma(v + 1/2)^2],$$

где  $v$  – колебательное квантовое число ( $v = 0, 1, 2, \dots$ );

$\gamma$  – коэффициент ангармоничности;  $\Delta v$  – любое целое число.

Для квантового числа  $v$  нет правила отбора, поэтому  $\Delta v$  может принимать любые целочисленные значения.

- Разность энергий двух соседних колебательных уровней

$$\Delta E_{v+1,v} = \hbar\omega[1 - 2\gamma(v+1)]$$

- Максимальное значение квантового числа  $v$

$$v_{\max} = \frac{1}{2\gamma} - 1.$$

- Максимальная энергия колебательного движения

$$E_d = \hbar\omega(4\gamma).$$

- Энергия диссоциации двухатомной молекулы

$$E_d = \frac{\hbar\omega}{4\gamma}(1 - 2\gamma).$$

• Момент инерции двухатомной молекулы относительно оси, проходящей через ее центр инерции перпендикулярно прямой, соединяющей ядра атомов,

$$J = \mu d^2,$$

где  $\mu$  – приведенная масса молекулы;

$d$  – межъядерное расстояние.

- Вращательная постоянная

$$B = \hbar^2/(2\mathcal{I}).$$

- Энергия вращательного движения двухатомной молекулы

$$E_{\mathcal{Y}} = B\mathcal{Y}(\mathcal{Y}+1),$$

где  $\mathcal{Y}$  – вращательное квантовое число ( $\mathcal{Y} = 0, 1, 2, \dots$ ).

- Спектроскопическое волновое число

$$\tilde{\nu} = \frac{1}{\lambda},$$

где  $\lambda$  – длина волны излучения.

• Энергия  $\varepsilon$  фотона излучения связана с спектроскопическим волновым числом  $\nu$  соотношением

$$\varepsilon = 2\pi\hbar c\tilde{\nu},$$

где  $c$  – скорость распространения электромагнитного излучения.

### 8.2.4.1. Примеры решения задач

**Пример 1.** Собственная угловая частота  $\omega$  колебаний молекулы  $\text{HC1}$  равна  $5,63 \cdot 10^{14} \text{ c}^{-1}$ , коэффициент ангармоничности  $\gamma = 0,0201$ . Определить: 1) энергию  $\Delta E_{2,1}$  (в электрон-вольтах) перехода молекулы с первого на второй колебательный энергетический уровень; 2) максимальное квантовое число  $\nu_{\max}$ ; 3) максимальную колебательную энергию  $E_{\max}$ ; 4) энергию диссоциации  $E_d$ .

**Решение.** 1. Энергию перехода  $\Delta E_{\nu+1,\nu}$  между двумя соседними уровнями найдем как разность двух значений колебательной энергии:

$$\Delta E_{v+1,v} = E_{v+1} - E_v.$$

Так как колебательная энергия двухатомной молекулы определяется соотношением

$$E_v = \hbar\omega \left[ \left( v + \frac{1}{2} \right) - \gamma \left( v + \frac{1}{2} \right)^2 \right],$$

то

$$\Delta E_{v+1,v} = \hbar\omega \left\{ \left[ \left( v + \frac{3}{2} \right) - \gamma \left( v + \frac{3}{2} \right)^2 \right] - \left[ \left( v + \frac{1}{2} \right) - \gamma \left( v + \frac{1}{2} \right)^2 \right] \right\} = \hbar\omega [1 - 2\gamma(v+1)].$$

Подставив значения  $\hbar$ ,  $\omega$ ,  $\gamma$  и произведя вычисления, найдем

$$\Delta E_{2,1} = 1,09 \cdot 10^{-19} \text{ Дж} \quad \text{или} \quad \Delta E_{2,1} = 0,682 \text{ эВ.}$$

2. Максимальное квантовое число  $v_{\max}$  найдем, приравняв разность соседних энергетических уровней нулю:

$$\Delta E_{v+1,v} = \hbar\omega [1 - 2\gamma(v_{\max} + 1)] = 0 \quad \text{или} \quad 1 - 2\gamma(v_{\max} + 1) = 0,$$

откуда

$$v_{\max} = \frac{1}{2\gamma} - 1. \quad (2)$$

Подставив сюда значение  $\gamma$  и округлив до ближайшего (снизу) целого значения найденного  $v_{\max}$  получим

$$v_{\max} = 23.$$

3. Максимальную колебательную энергию  $E_{\max}$  найдем, если в выражение (1) вместо  $v$  подставим  $v_{\max}$  формуле

$$E_{\max} = \hbar\omega \left[ \left( \frac{1}{2\gamma} - 1 + \frac{1}{2} \right) - \gamma \left( \frac{1}{2\gamma} - 1 + \frac{1}{2} \right)^2 \right].$$

Выполняя простые преобразования и пренебрегая  $\gamma/4$  по сравнению с  $\gamma/(4\gamma)$ , получаем

$$E_{\max} = \hbar\omega / (4\gamma).$$

Подставим значения  $\hbar$ ,  $\omega$ ,  $\gamma$  и произведем вычисления:

$$E_{\max} = 7,38 \cdot 10^{-19} \text{ Дж} \quad \text{или} \quad E_{\max} = 4,61 \text{ эВ.}$$

4. Энергия диссоциации есть энергия, которую необходимо затратить, чтобы отделить атомы в молекуле друг от друга и удалить их без сообщения им кинетической энергии на расстояние, на котором взаимодействие атомов пренебрежимо мало.

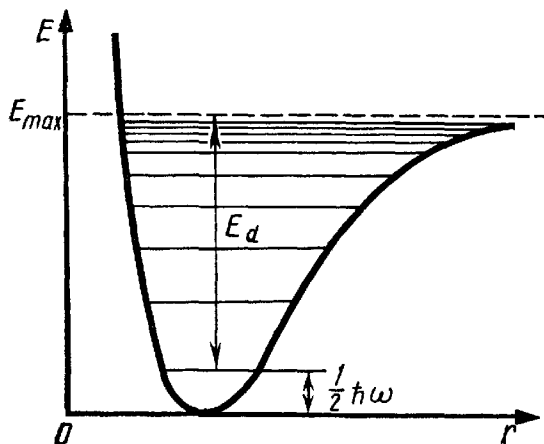


Рис. 8.13

Заменив  $\hbar\omega/(4\gamma)$  на  $E_{\max}$  получим

$$E_d = E_{\max}(1 - 2\gamma).$$

Произведя вычисления, найдем

$$E_d = 4,43 \text{ эВ}.$$

На рис. 8.13 эта энергия отвечает переходу с нулевого колебательного уровня на самый высокий возбужденный, соответствующий  $\nu_{\max}$ . Тогда энергия диссоциации

$$E_d = E_{\max} - E_0 \frac{\hbar\omega}{4\gamma} - \frac{1}{2} \hbar\omega$$

$$\text{или } E_d = \frac{\hbar\omega}{4\gamma}(1 - 2\gamma).$$

**Пример 2.** Для молекулы HF определить: 1) момент инерции  $J$ , если межъядерное расстояние  $d = 91,7$  нм; 2) вращательную постоянную  $B$ ; 3) энергию, необходимую для возбуждения молекулы на первый вращательный уровень.

**Решение.** 1. Если воспользоваться формулой приведенной массы  $\mu$  молекулы, то ее момент инерции можно выразить соотношением

$$J = \mu d^2 \quad \text{или} \quad J = \frac{m_1 m_2}{m_1 + m_2} d^2,$$

где  $m_1$  и  $m_2$  – массы атомов водорода и фтора.

Приведенную массу молекулы удобно сначала выразить в а.е.м. (относительные атомные массы химических элементов приведены в табл. 30):

$$\mu = \frac{1 \cdot 19}{1 + 19} = 0,95 \text{ а.е.м.}$$

Выразив приведенную массу в единицах СИ  $\mu = 0,95 \cdot 1,67 \cdot 10^{-27}$  кг =  $1,59 \cdot 10^{-27}$  кг, найдем момент инерции молекулы HF:

$$J = 1,33 \cdot 10^{-47} \text{ кг/м}^2.$$



2. Вращательная постоянная  $B$  с учетом выражения для  $\mathcal{Y}$  равна  $B = \hbar / (2\mu d^2)$ .

Подставив значения  $\hbar$ ,  $\mu$ ,  $d$  и произведя вычисления, получим  $B = 4,37 \cdot 10^{-22}$  Дж или  $B = 2,73$  мэВ.

3. Энергия, необходимая для возбуждения молекулы на первый вращательный уровень, равна разности энергий молекулы на первом и нулевом вращательных уровнях.

Так как вращательная энергия двухатомной молекулы выражается соотношением  $E_{\mathcal{Y}} = B\mathcal{Y}(\mathcal{Y} + 1)$ , то разность энергий двух соседних вращательных уровней

$$\Delta E_{\mathcal{Y}+1};$$

$$\mathcal{Y} = E_{\mathcal{Y}+1} - E_{\mathcal{Y}} = \{[B(\mathcal{Y} + 1)(\mathcal{Y} + 2)] - [B\mathcal{Y}(\mathcal{Y} + 1)]\}.$$

После упрощений получим

$$\Delta E_{\mathcal{Y}+1};$$

$$\mathcal{Y} = 2B(\mathcal{Y} + 1).$$

Положив здесь  $\mathcal{Y} = 0$ , найдем значение энергии, необходимое для возбуждения молекулы с нулевого уровня на первый:

$$\Delta E_{1,0} = 2B = 5,46 \text{ мэВ}.$$

### 8.2.4.2. Задачи для самостоятельного решения

#### Колебательный спектр двухатомной молекулы

48.1. Изобразить графически зависимость  $\psi_0(x)$  и  $[\psi_0(x)]^2$  для нулевой собственной волновой функции осциллятора.

48.2. Используя условие нормировки, определить нормировочный множитель  $C_0$  нулевой собственной волновой функции осциллятора.

48.3. Рассматривая молекулу как квантовый гармонический осциллятор, находящийся в основном состоянии ( $n = 0$ ), найти амплитуду  $A$  классических колебаний, выразив ее через параметр  $\alpha$ .

48.4. Гармонический осциллятор находится в основном состоянии ( $n = 0$ ). Какова вероятность  $W$  обнаружения частицы в области  $(-A < x < A)$ , где  $A$  – амплитуда классических колебаний?

48.5. Определить среднюю потенциальную энергию ( $U(x)$ ) гармонического осциллятора, находящегося в основном состоянии, выразив ее через нулевую энергию  $E_0$ .

48.6. Собственная круговая частота со колебаний молекулы водорода равна  $8,08 \cdot 10^{14} \text{ с}^{-1}$ . Найти амплитуду  $A$  классических колебаний молекулы.

**48.7.** Зная собственную круговую частоту со колебаний молекулы CO ( $\omega = 4,08 \cdot 10^{14} \text{ с}^{-1}$ ), найти коэффициент  $\beta$  квазиупругой силы.

**48.8.** Определить энергию  $E_{\text{ВОЗБ}}$  возбуждения молекулы HCl с нулевого колебательного энергетического уровня на первый, если известны собственная круговая частота  $\omega = 5,63 \cdot 10^{14} \text{ с}^{-1}$  и коэффициент ангармоничности  $\gamma = 0,0201$ .

**48.9.** Определить число  $N$  колебательных энергетических уровней, которое имеет молекула HBr, если коэффициент ангармоничности  $\gamma = 0,0208$ .

**48.10.** Во сколько раз отличаются максимальная и минимальная (отличная от нуля) разности двух соседних энергетических уровней для молекулы H<sub>2</sub> ( $\gamma = 0,0277$ )?

## Рекомендованная литература

1. Старостина И.А., Краткий курс физики для бакалавров: учебное пособие / И.А. Старостина, Е.В. Бурдова, Р.С. Сальманов - Казань: Издательство КНИТУ, 2016. - 364 с. - ISBN 978-5-7882-2035-2 - Текст: электронный // ЭБС «Консультант студента»: [сайт]. - URL: <http://www.studentlibrary.ru/book/ISBN9785788220352.html>

2. Полянская Е.Е., Зайковский О.И. Курс физики. 2-е изд., испр. и доп. – Оренбург: Изд-во ОГПУ, 2016. – 148 с. – ISBN 978-5-85859-643-1. Режим доступа: <https://www.twirpx.com/file/2170493/>

3. Варава А.Н., Общая физика: учебное пособие для вузов / Варава А.Н. - М.: Издательский дом МЭИ, 2017. - ISBN 978-5-383-01085-3 - Текст: электронный // ЭБС «Консультант студента»: [сайт]. - URL: <http://www.studentlibrary.ru/book/ISBN9785383010853.html>

4. Трофимова Т.И., Фирсов А.В. Курс физики с примерами решения задач. В 2 томах. Том 1. М.: КноРус, 2015. – 568 с. – ISBN 978-5-406-04253-3. Режим доступа: <https://www.twirpx.com/file/1991197/>

5. Повзнер А.А., Андреева А.Г., Шумихина К.А. Физика. Базовый курс. Часть 1. Екатеринбург: Изд-во Урал. ун-та, 2016. – 168 с. – ISBN 978-5-7996-1701-1. Режим доступа: <https://www.twirpx.com/file/2061058/>

6. Повзнер А.А., Андреева А.Г., Шумихина К.А. Физика. Базовый курс. Часть 2. Екатеринбург: Изд-во Урал. ун-та, 2017. – 144 с. – ISBN 978-5-7996-1948-0. Режим доступа: <https://www.twirpx.com/file/2242224/>

Учебное издание

**МЕТОДИЧЕСКИЕ УКАЗАНИЯ**  
к практическим занятиям по дисциплине  
**«ФИЗИКА»**

для студентов направления подготовки  
Профессиональное обучение (по отраслям), профили:  
«Экономика и управление», «Информационные технологии и системы», «Электроснабжение», «Безопасность технологических процессов и производств», «Горное дело. Подземная разработка пластовых месторождений», «Горное дело. Электромеханическое оборудование, автоматизация процессов добычи полезных ископаемых и руд», «Горное дело. Технологическая безопасность и горноспасательное дело», «Профессиональная психология», «Управление персоналом», в 9- и частях. Часть 8.2. Элементы квантовой механики

Составитель:  
Валентин Иванович Сафонов

Печатается в авторской редакции.  
Компьютерная верстка и оригинал-макет автора.

Подписано в печать \_\_\_\_\_  
Формат 60x84<sup>1</sup>/<sub>16</sub>. Бумага типограф. Гарнитура Times  
Печать офсетная. Усл. печ. л. \_\_\_\_\_. Уч.-изд. л. \_\_\_\_\_  
Тираж 100 экз. Изд. № \_\_\_\_\_. Заказ № \_\_\_\_\_. Цена договорная.

Издательство Луганского государственного  
университета имени Владимира Даля

*Свидетельство о государственной регистрации издательства  
МИ-СРГ ИД 000003 от 20 ноября 2015 г.*

**Адрес издательства:** 91034, г. Луганск, кв. Молодежный, 20а  
**Телефон:** 8 (0642) 41-34-12, **факс:** 8 (0642) 41-31-60  
**E-mail:** izdat.lguv.dal@gmail.com **http:** //izdat.dahluniver.ru/